

ریز رخساره‌ها، محیط رسوبی و چینه‌نگاری سکانسی سازند قم در چاه یورته‌شاه-1 و برش سطحی موره کوه (جنوب تهران)

محمود جلالی^{*}، دانشجوی دکتری چینه‌شناسی و فسیل‌شناسی دانشگاه شهید بهشتی تهران، ایران*

عباس صادقی^{*}، استاد، گروه زمین‌شناسی دانشگاه شهید بهشتی تهران، ایران

محمدحسین آدابی^{*}، استاد، گروه زمین‌شناسی دانشگاه شهید بهشتی تهران، ایران

چکیده

این مقاله نمایانگر تجزیه و تحلیل‌های چینه‌نگاری سکانسی در توالی نهشته‌های دریایی کم عمق الیگو-میوسن در چاه یورته‌شاه-1 و برش سطحی موره کوه (جنوب تهران) است. این مطالعه بر اساس سنگ چینه‌نگاری، تعیین چهار چوب زمانی جهانی بر اساس بیوزون‌های استاندارد اروپایی، تعبیر و تفسیر رخساره‌ها، محیط‌های رسوبی دیرینه و چینه‌نگاری سکانسی انجام شده است. در برش زیر سطحی یورته‌شاه-1، بخش‌های c_4 تا f و در برش سطحی موره کوه فقط بخش f از سازند قم قابل تفکیک است. مطالعات زیست چینه‌نگاری نشان داد که مجموعه فرامینیفرهای کف‌زی در محدوده مورد مطالعه مشابه با مجموعه فسیلی در غرب تیپس و خاورمیانه است. سن سازند قم بر اساس مجموعه فرامینیفرهای بزرگ آکیتائین تا بوردیگالین (SBZ 24-25) تعیین شد. این مطالعه نشان داد که محیط رسوبی سازند قم مربوط به رمپ کربناته است. بر اساس نوع بافت رسوبی و درصد آلومینی اسکلتی و غیر اسکلتی تعیین شد. این برش به شناسایی سه سکانس درجه سوم در برز زیر سطحی یورته‌شاه-1 و یک سکانس رسوبی درجه سوم در برش سطحی موره کوه منجر گردید. سکانس اول به سن آکیتائین در برگیرنده بخش c_4 ، سکانس دوم و سوم به سن بوردیگالین در برداشته بخش‌های d, e و f هستند.

کلیدواژه‌ها: چینه‌نگاری سکانسی، سازند قم، ریز رخساره، محیط رسوبی.

Email:

*نويسنده مسؤول: 09121487441

mahmoud.jalali@gmail.com

Copyright©2017, University of Isfahan. This is an Open Access article distributed under the terms of the Creative Commons Attribution License (<http://creativecommons.org/licenses/BY-NC-ND/4.0>), which permits others to download this work and share it with others as long as they credit it, but they can't change it in any way or use it commercially.

مقدمه

(Karavan et al. 2015; Amirshahkarami and Karavan 2015

اقدام به تعبیر و تفسیر نهشته‌های سازند قم در ناحیه الگو و نواحی اطراف نموده‌اند.

از آنجایی که تمکر مطالعات بر روی سازند قم عمده‌اً در بخش مرکزی حوضه بوده است و محدوده مورد مطالعه، کمتر مورد مطالعات زیست‌چینه‌ای، محیط رسوبی و چینه‌نگاری سکانسی قرار گرفته است، از این‌رو در این مطالعه سکانس‌های رسوبی درجه سوم سازند قم در برش‌های مورد مطالعه با توجه به چهار چوب زمانی تعیین شده بر اساس فرامینیفرهای درشت و منطبق با بایوزون‌های جهانی تفکیک و تغییرات رخساره‌ای و محیط رسوبی در هر یک از سکانس‌ها مشخص گردید.

موقعیت زمین‌شناسی محدوده مورد مطالعه

محدوده مورد مطالعه در حوضه تکتونیکی-رسوبی، ایران مرکزی (Alavi 1991؛ آقابنایی 1383) و نهشته‌های سازند قم در تاقدیس موره‌کوه و یورته‌شاه در حوضه پشت قوس ولکانیکی Reuter et al. 2007؛ Letouzey and Rudkiewicz 2005).

ایران مرکزی از پالئوزوئیک تاتریاس تحت تأثیر نیروهای کششی بوده است و با ایجاد ریفت از صفحه عربی جدا شده اوراسیا متصل شد. در این زمان اقیانوس تیس قدیمی به صفحه اوراسیا مهاجرت کرد که منجر به چین‌خوردگی، خروج از آب نهشته‌های ژوراسیک و کرتاسه ایران مرکزی شد (Stämpfli and Borel 2002).

در زمان ائوسن، حرکت پوسته عربی به سمت اوراسیا به ایجاد فرورانش بقایای پوسته اقیانوسی به زیر حاشیه جنوبی

پس از اثبات وجود هیدروکربور در نهشته‌های الگو-میوسن در میادین البرز، سراجه، آران و فخره، مشخص شد که سازند قم در نواحی که از نظر سنی به طور کامل نهشته شده و واجد کلیه بخش‌های سازند قم است، می‌تواند به عنوان یک سیستم هیدروکربوری کامل در نظر گرفته شود (باغبانی 1375). لذا ضرورت بررسی تغییرات سن و رخساره‌های سازند قم در مطالعات هیدروکربوری بسیار اهمیت دارد. بدین‌منظور تاکنون مطالعات متعددی در مراکز دانشگاهی و پژوهشی در خصوص سازند قم انجام شده است.

گانسر (Gansser 1955) علاوه بر معرفی سازند دریایی الگو-میوسن در حوضه قم اقدام به تفکیک واحد‌های سنگ‌چینه‌ای در این سازند نمود. فورر و سودر (Furrer and Soder 1955) ضمن بررسی سازند دریایی الگو-میوسن در خاور شوراب، این سازند را به شش واحد سنگی a تا f طبقه‌بندی نمودند. دوزی (Dozzy 1944؛ 1955) نهشته‌های دریایی به سن الگو-میوسن را با عنوان سازند قم نامید. تقسیم‌بندی عضو c به چهار عضو c₁-c₄ را سودر (1956) و (1959) انجام داد و شرح آن را آبایی و همکاران (1964) انجام دادند. نام سازند قم در اواسط دهه 60 میلادی توسط کمیته چینه‌شناسی ایران رسمیت یافت و بخش‌های a, b, c₁, c₂, c₃, c₄, d, e, f نیز توسط کمیته چینه‌شناسی به رسمیت شناخته شدند (Stocklin and Setudehnia 1991).

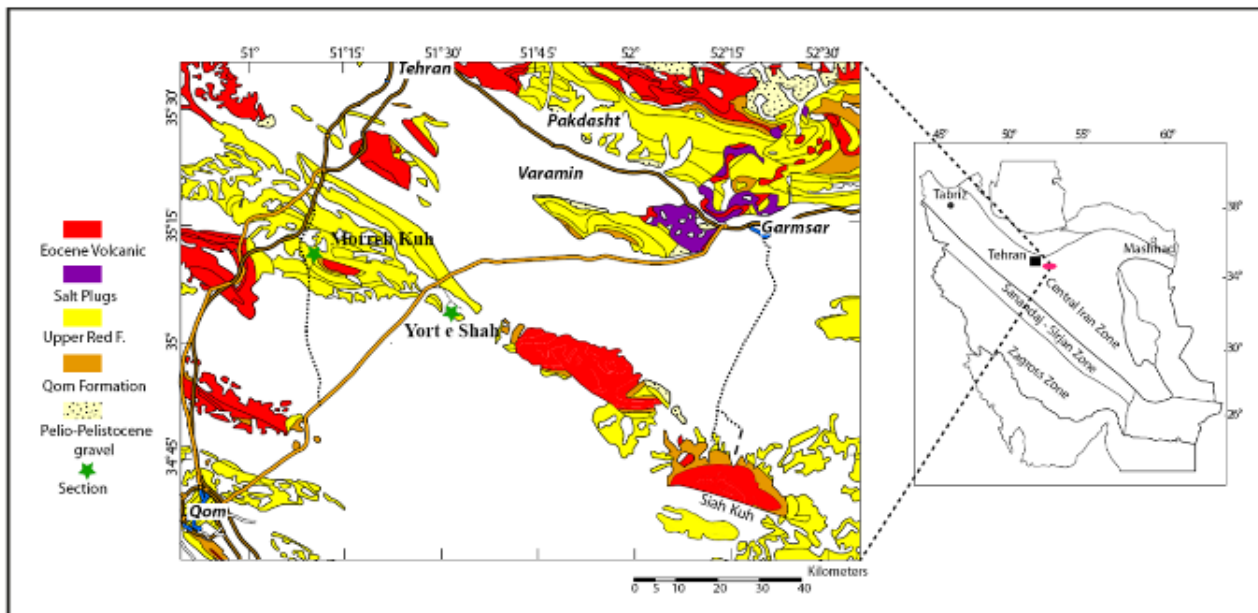
پژوهشگران در سال‌های اخیر به منظور شناخت و درک حوضه رسوبی قم در زمینه‌های چینه‌شناسی و فسیل‌شناسی (رحمی متین 1386، دانشیان و درخشانی 1387، دانشیان و آفتابی Bozorgnia 1965؛ Rahaghi 1973؛ 1976؛ 1980؛ Daneshian 1388 and Dana 2007؛ Mohammadi et al. 2015) محیط رسوبی (نوری 1377؛ بهروزیفر و همکاران 1389؛ Khalili et al. 2007؛ Mohammadi et al. 2011؛ Zabihi et al. 2014) و چینه‌نگاری سکانسی (ласمی و امین رسولی 1382؛ Vaziri Moghaddam and Torabi 2004؛ 1384؛ Guoqiang et al. 2007؛ Reuter et al. 2007؛ Jalali et al. 2009؛

در جنوب، جنوب غرب تهران (شکل 1) به منظور بررسی دقیق روند تغییرات رخساره‌ای و سکانسی رسویات برداشت شد. از برش زیر سطحی یورته‌شاه-1 (شکل 2) تعداد 284 عدد مقطع نازک از خردنه‌های حفاری و مغزه و از برش صحرایی موره‌کوه (شکل 3) تعداد 50 عدد مقطع نازک از نمونه‌های سنگی برداشت شده، تهیه و مطالعه شد. به منظور بررسی فرامینیفرهای درشت از برخی از نمونه‌ها در چندین جهت مختلف نیز مقطع نازک میکرو‌سکوپی تهیه شد. به منظور نام‌گذاری و طبقه‌بندی سنگ‌های کربناته از طبقه‌بندی دانهام (Embry and Klovan 1971) و دانهام (Dunham 1962) و امبری و کلوان (Burchette and Wright 1992) و ابری و کلوان (Read 1985) و برای توصیف ریز رخساره‌ها و کمریندهای رخساره‌ای از روش رید (Hunt and Tucker 1993, 1995) استفاده گردید.

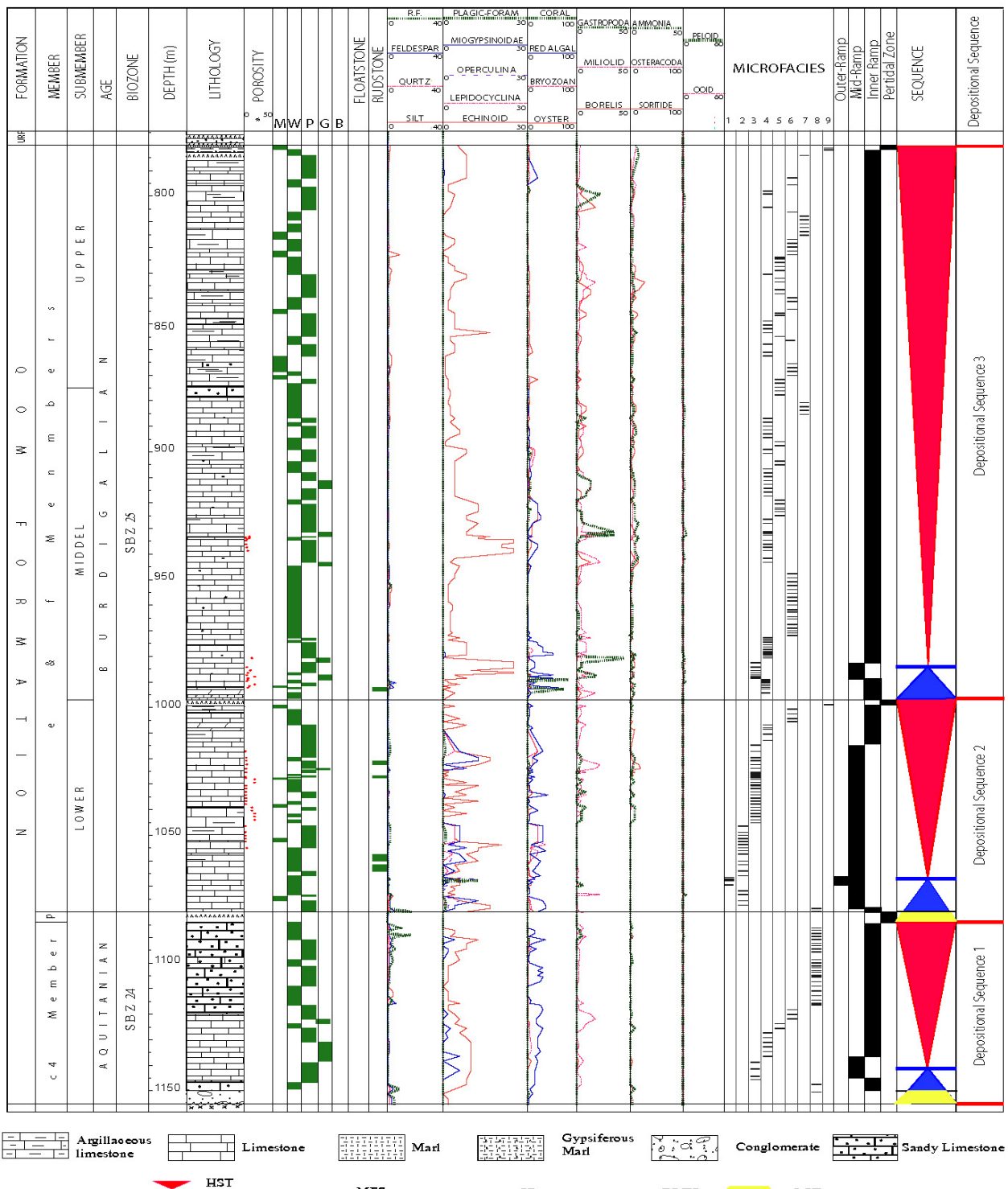
چینه‌نگاری سکانسی از الگوی هانت و تاکر (Poignant and Cahuzac 1997) تعیین سن سازند قم بر اساس فرامینیفرهای درشت (Morley et al. 2009). محدوده مطالعه و روش کار سازند قم در برش صحرایی موره‌کوه به مختصات جغرافیایی $35^{\circ} 30' - 35^{\circ} 45'$ و $51^{\circ} 10' - 51^{\circ} 40'$ و در چاه یورته‌شاه-1، واقع

محدوده مطالعه و روش کار

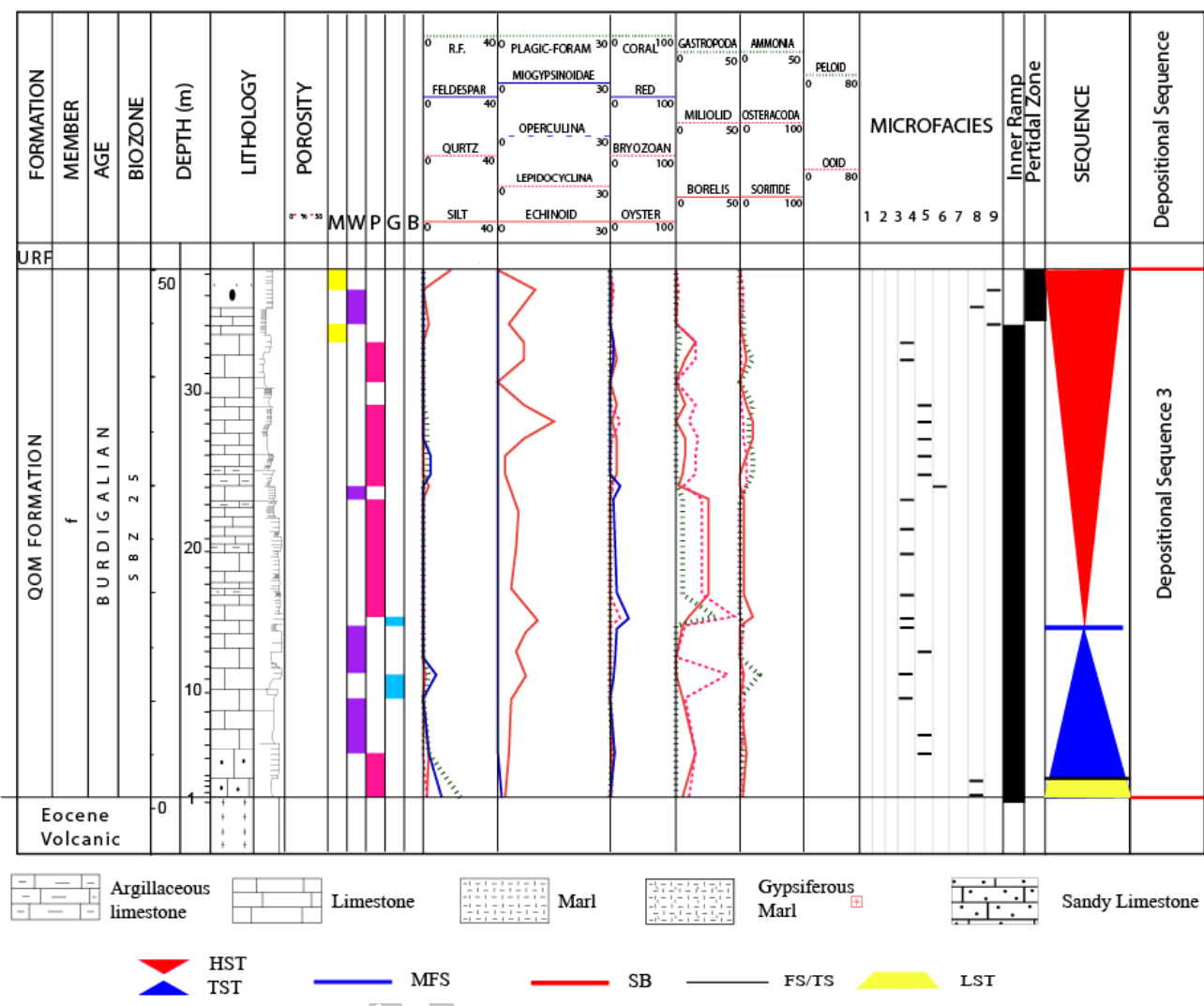
سازند قم در برش صحرایی موره‌کوه به مختصات جغرافیایی $35^{\circ} 30' - 35^{\circ} 45'$ و $51^{\circ} 10' - 51^{\circ} 40'$ و در چاه یورته‌شاه-1، واقع



شکل 1- موقعیت زمین‌شناسی و جغرافیایی برش زیر سطحی یورته‌شاه-1 و برش سطحی موره‌کوه (نقشه 1/1000000 شرکت ملی نفت ایران)



شکل ۲- تفکیک ریزرساره‌ها، محیط رسوبی و سکانس‌های با درجه سوم سازند قم در برش زیرسطحی بورنه‌شاه-۱، بر اساس بافت رسوبی و درصد آلوکم‌های اسکلتی و غیر اسکلتی. در این مطالعه تعداد هشت عدد ریزرساره و سه عدد سکانس رسوبی در نهشته‌های سازند قم با سن آکیتانین تا بوردیگالین تفکیک شد.



شکل ۳- نفیکی ریزرساره‌ها، محیط رسوبی و سکانس‌های با درجه سوم سازند قم در برش سطحی موره‌کوه، بر اساس برداشت برش صحرایی، بافت رسوبی و درصد آلوکم‌های اسکلتی و غیر اسکلتی. در این مطالعه تعداد هشت عدد ریزرساره و یک عدد سکانس رسوبی در نهشته‌های سازند قم با سن بوردیگالین نفیکی شد.

شمال در کوه سیاه بابخش c (دانشیان و درخشنانی ۱۳۸۷؛ جلالی و همکاران ۱۳۹۵)، در برش زیر سطحی یورت‌شاه-1، با بخش c۴ و در برش سطحی موره‌کوه با بخش f آغاز می‌شود. روند این تغییرات نمایانگر عدم یکنواختی در توپوگرافی کف حوضه رسوبی قم و وجود یک بلندآی دیرینه به سمت شمال و شمال شرق محدوده مورد مطالعه است (شکل ۹).

برش زیر سطحی یورت‌شاه-1

چینه‌شناسی

بررسی تغییرات چینه‌شناسی نمایانگر کاهش شدید ضخامت سازند قرمز زیرین از جنوب (سیاه کوه) به سمت محدوده مورد مطالعه است، به طوری که در برش‌های مورد مطالعه سازند قم به طور مستقیم بر روی نهشته‌های آتشفسانی به سن ائوسن قرار می‌گیرد. تغییرات چینه‌شناسی در بخش‌های مختلف سازند قم نیز در محدوده مورد مطالعه کاملاً مشهود است (SINOPEC 2009). این سازند در جنوب محدوده مورد مطالعه در چاه آران-1 با بخش a شروع شده و به سمت

بخش c₄

این بخش دارای ضخامت 68/2 متر، از سنگ آهک، سنگ آهک ماسه‌ای و سنگ آهک رسی تشکیل شده است. در قاعده این بخش، نهشته‌های کنگلومرای پیشرونده با ضخامت حدود 4 متر وجود دارد که عمدتاً از ذرات ولکانیکی و آلومینیمی اسکلتی از جنس جلبک قرمز و اکینوئید تشکیل شده است.

برش سطحی موره کوه

سازند قم در برش سطح‌الارضی موره کوه با 50 متر ضخامت از سنگ آهک‌های بخش f تشکیل شده است (شکل 5). پیشروی دریای میوسن در این ناحیه نسبت به تاقدیس یورته‌شاه دیرتر انجام شده است، به طوری که در این تاقدیس فقط بخش f نهشته شده است. ضخامت سازند قم در تاقدیس موره کوه نیز از غرب به شرق کاهش نشان می‌دهد، به طوری که در غرب موره کوه ضخامت این سازند 104 متر و در شرق آن 50 متر است. در قاعده این بخش، نهشته‌های کنگلومرای پیشرونده با ضخامت حدود یک متر تشکیل شده که قطعات تشکیل دهنده آن عمدتاً از ذرات ولکانیکی و آلومینیمی اسکلتی با جنس جلبک قرمز و اکینوئید است.

چینه‌شناسی زیستی

در این مطالعه به منظور قراردادن رسوبات سازند قم در مقیاس زمان جهانی و نیز به منظور انجام تطبیق بین قاره‌ای از بیوزون‌های استاندارد اروپا (Cahuzac and Poignant 1997) برای فونای کم عمق الیگو-میوسن استفاده شده است. این زون‌ها با علامت اختصاری SBZ معرفی می‌شوند (جدول 1). نتایج حاصل از داده‌های بیواستریاتیگرافی به شناسایی زون‌های SBZ 24 (آکیتانی) و 25 (بوردیگالین) برای برش زیرسطحی چاه یورته‌شاه-1 و نیز SBZ 25 (بوردیگالین) برای برش سطح‌الارضی موره کوه منجر گردید که در زیر شرح داده می‌شوند.

سازند قم در برش زیر سطحی یورته‌شاه-1، با 373.5 متر ضخامت، دارای بخش‌های c₄ تا f است (شکل 2)، در این چاه تفکیک بخش‌های e و f امکان‌پذیر نیست Bozorgnia (1961). پیشروی دریای میوسن در محدوده تاقدیس یورته‌شاه نسبت به نواحی جنوبی نظری تاقدیس‌های سیاه‌کوه و دوازده امام دیرتر آغاز شده است، به طوری که نهشته‌های آهکی بخش c₄ به طور ناپیوسته در این تاقدیس بر روی نهشته‌های ولکانیکی ائوسن قرار گرفته است. به علت قرارگیری این تاقدیس در حاشیه بلندآی دیرینه، رخساره‌های نواحی عمیق‌تر دریا (مارن‌های دریایی بخش e) گسترش چندانی نداشته، لذا تفکیک بخش‌های f و e امکان‌پذیر نیست.

بخش غیرقابل تفکیک f - e

این بخش با ضخامت 302 متر، در زیر نهشته‌های ایندریتی سازند قرمز بالایی و بر روی نهشته‌های تبخیری بخش d قرار گرفته است. بر اساس سنگ‌شناسی این بخش را می‌توان از بالا به پایین به سه واحد زیر تفکیک کرد (شکل 2). واحد بالایی با ضخامت 95 متر، که عمدتاً از سنگ آهک و سنگ آهک‌های ماسه‌ای سفید تا سبزرنگ دارای فسیل‌های درشت جلبک قرمز، بریوزر، دوکفه تشکیل شده است. واحد میانی از سنگ آهک‌های ماسه‌ای سفید تا خاکستری‌رنگ تشکیل شده و 122 متر ضخامت دارد. واحد زیرین از توالی سنگ آهک، سنگ آهک مارنی، دولومیت و ایندریت با ضخامت 84 متر تشکیل شده است. توالی ایندریت به ضخامت 2 متر در رأس این واحد قرار دارد.

بخش تبخیری d

دارای ضخامت 2/5 متر قابل تطبیق با برش‌های بخش مرکزی حوضه قم است. سن این بخش با توجه به جایگاه چینه‌شناسی و مفاهیم چینه‌نگاری سکانسی به مرز آکیتانی-بوردیگالین نسبت داده شد (ласمی و امین‌رسولی 1382؛ ایمن‌دوست و امینی 1384). (Reuter et al. 2007).

SERIES	STAGE	LARGER FORAMINIFERA				LARGER FORAMINIFERA IN STUDY AREA	
MIOCENE LOWER	BURDIGALIAN	SB25	M.cushmani M.mediterranea plurispiralled Miogypsina M.globulina	M.mediterranea M. cushmani N.tournouei Molepidocyclus spp.	Borelis melo-curdica	M.group globuli	MEMBER QOM FORMATION
	AQUITANIAN	SB24	M.socini unispiralled Miogypsina (M.gunteri / tani) M.gunteri	M.tani	(M.gunteri / tani) M.gunteri	M.tanii	MEMBER QOM FORMATION

جدول 1- مقایسه زون‌های استاندارد اروپایی و زون‌های شناسایی شده در ناحیه مورد مطالعه به همراه قایع زیستی مربوطه (Cahuzac and Poignant 1997; Işık and Hakyemez 2011, Less et.al. 2011).

اگرچه گونه *Borelis melo curdica* در اروپا دارای سن میوسن میانی به بعد است، ولی نتایج بیواستراتیگرافی داده‌های حاصل از تعیین سن مطلق (Van Buchem et al. 2010)، مؤید سن بوردیگالین برای این گونه فسیلی در ایران و خاورمیانه است. این دو زمانه بودن سن *Borelis melo curdica* در خاورمیانه و اروپا به وضعیت مهاجرت این گونه در زمان میوسن میانی از خاورمیانه به سمت اروپا (به سمت غرب) نسبت داده می‌شود (Jones et al. 2006). سایر فرم‌های همراه در این بیوزون شامل *Schlumbergerina alveoliformis* (شکل 4)، *Meandropsina* (H-I 4)، *Meandropsina anahensis* (شکل 5) *Ammonia cf. umbonata* (F-J 5)، *iranica* *Miogypsinoides cf. dehaartii* *Cibicides* sp. (A-B 5)، *Astrotrillina howchini* (E 5)، *Borelis melo melo* (K 5)، *Peneropolis* sp. *Elphidium* sp. *Elphidium crispum* *Dendritina rangi* *Pseudotaberina malabarica*، *Triloculina trigonula* *Triloculina Amphistegina* cf. *radiata* *Textularia* spp. *Operculina* sp. *Discorbis* sp. *tricarinata* و *Reusella* sp. *Neorotalia* sp. *Nephrolepidina* sp. در این بیوزون با *Globigerinoides* sp. *Globigerina* sp. است و

بیوزون استاندارد 24: این زون با ارزش چینه‌شناسی SBZ می‌باشد. گونه‌های مذکور، دارای گسترش مشخص می‌گردد. گونه‌های آنکه زیادی بوده و سن آکیتانی را دارا هستند (Drooger 1993; Ozcan et al. 2009).

به منظور تفکیک دقیق این دو گونه از یکدیگر برش کاملاً استواری مورد نیاز است. از آنجا که برش‌های استواری این دو میوژیپسینید در اسلالیدهای نازک میکروسکوپی تهیه شده ظاهر نگردید، در این مطالعه این دو گونه از یکدیگر تفکیک نگردیده و به صورت *Miogypsinoides gunteri/tani* (شکل 5) ذکر شده‌اند.

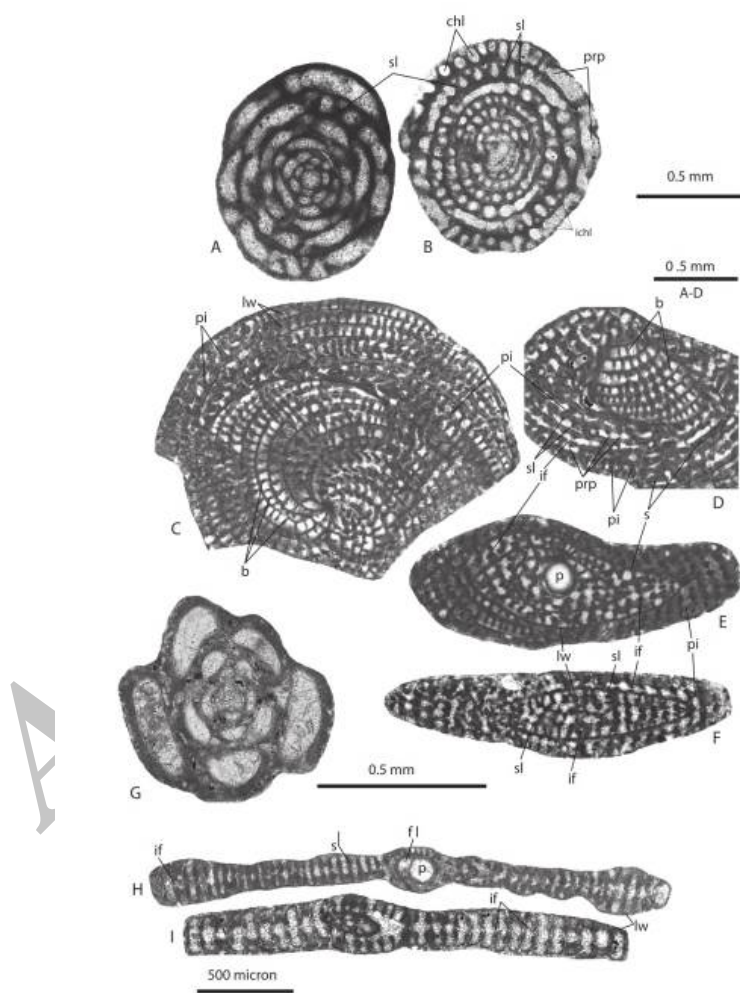
این بیوزون بخش C4 در برش زیر سطحی چاه بورت‌شاه-1 را دربرگرفته و مجموعه فسیل‌های همراه این بیوزون *Nephrolepidina* sp., *Miogypsinoides* sp. بیوزون استاندارد 25: این بیوزون با حضور گونه‌های شاخص *Miogypsinoides gr.globulina*, (شکل 5)، (E1)، (A-B 4) *Borelis melo curdica* دارای سن بوردیگالین است. گونه شاخص *Miogypsinoides globulina* دارای گسترش جغرافیایی وسیع در حوضه تیس است و در تمامی مناطق دارای سن بوردیگالین است (Drooger 1993; Ozcan et al. 2009).

این بیوزون بخش‌های غیر قابل تفکیک f در برش زیرسطحی چاه یورتهشا-1 و نیز بخش f را در برش سطحی موره کوه را دربر می‌گیرد.

فیصل *Pseudotaberina malabarica* برای اولین بار از ایران مرکزی و سازند قم گزارش شده در حالی که قبل از *Borelismelo curdica* و *Miogypsina* gr. *globulina* مکرر از ایران مرکزی گزارش شده‌اند (برای مثال Daneshian (and Dana 2007; Bozorgnia 1965).

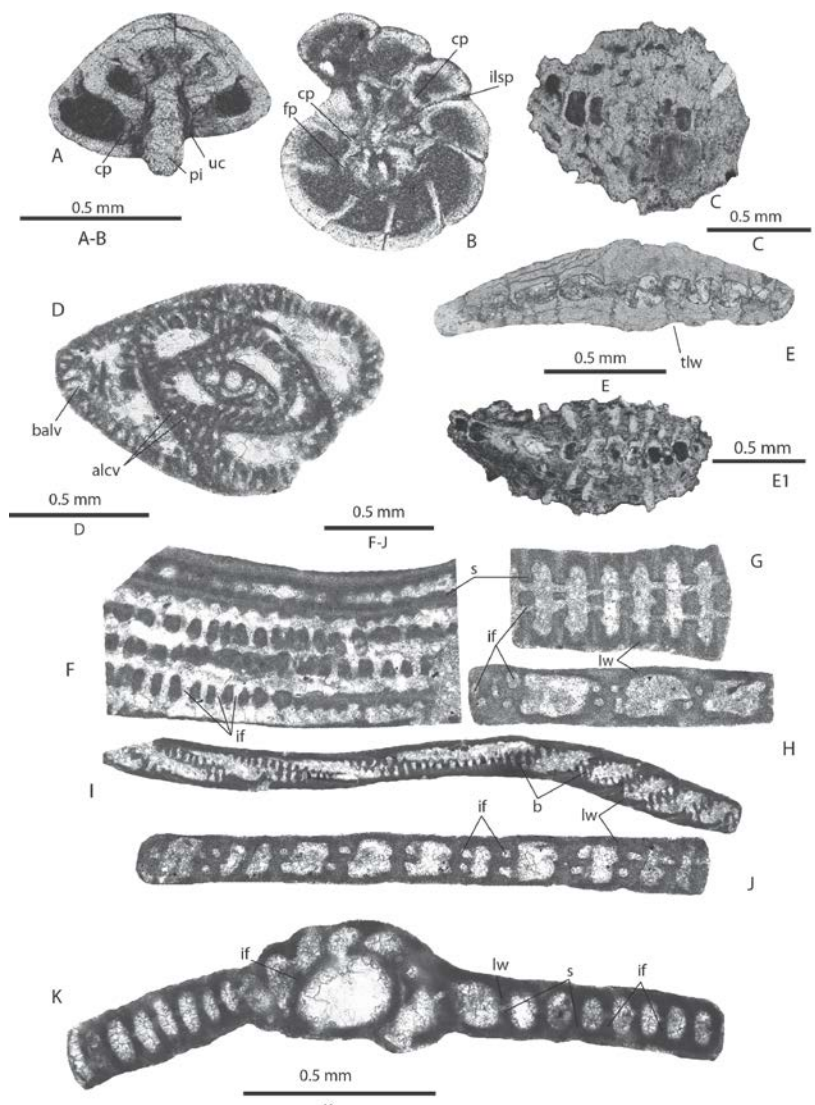
فراوانی بسیار کم وجود دارد.

گسترش چینه‌شناسی *Miogypsinaoides* cf. *dehartii* آکیتائین فوچانی و بوردیگالین تحتانی است (Raju 1974) و همچنین گسترش گونه *Pseudotaberina malabarica* (شکل 4) نیز از هندستان تا خاورمیانه است و با توجه به اینکه این گونه دارای سن بوردیگالین بوده (Banner and Renerna 2008) و احتمالاً ابتدای لانگین را نیز در بر می‌گیرد. لذا حضور این دو گونه در مجموعه فسیلی همراه اثبات‌کننده سن بوردیگالین است.



-I and H *Schlumbergerina alveoliformis* -G *Pseudotaberina malabarica* -C-F *Borelis melo curdica* -A-B -4 شکل
Meandropsina anahensis
حروف اختصاری

(**intercalary foramen**) if (دهانه بین حجره‌ای، **chamberlet**) (ستونک، **pillar**) (حجرک های ثانویه، **protoconch**) (flexostyle) **fl** (ستونک، **chamberlet**) (حجرک های ثانویه، **pi**) (ستونک، **beam**) (دیوار جانبی، **lw (lateral wall)**) (پیش سپتالی، **prp**) (گذرگاه پیش سپتالی، **beam**) (دیوار جانبی، **b**) (ستونک، **beam**) (دیوار بین حجره‌ای، **preseptal passage**)



شکل ۵ - Miogypsinoides cf. -E *Astrotrillina howchini*-D *Miogypsina gunteri/tani* -C *Ammonia gr. umbonata* -B-A -5
Peneropolis sp.-K *Meandropsina iranica* -Miogypsinagr.globulina -E1 F-J *dehaartii*

حروف اختصاری

:cp (دهانه بین حجره‌ای) :pi (pillar) (septum) (ستونک) :s (ستونک) :if (intercameral foramen) (دهانه بین حجره‌ای) :lw (lateral wall) (دیوار جانبی) :fp (صفحه پوشاننده) :uc (صفحه نافی) :ilsp (foramenal plate) (صفحه دهانه‌ای) :balv (bifurcate alveoli) (حفره دو شاخه‌ای) :alcv (thick lateral wall) (الوکم) (interlocular space) (فضای درون دیواره‌ای)

دیواره ضخیم جانبی

نمونه‌های نازک میکروسکوپی شد (شکل ۲ و ۳). بر اساس ویژگی‌های میکروسکوپی و ماکروسکوپی، ریزرساره‌ها تفکیک و محیط‌های رسوبی سازند قم به شرح زیر در برش‌های مورد مطالعه تفکیک گردید.

ریزرساره‌ها و محیط رسوبی به منظور شناسایی ریزرساره‌ها و محیط رسوبی سازند قم در برش‌های مورد مطالعه اقدام به سنگ‌شناسی، شناسایی، دسته‌بندی و تعیین درصد آلوکم‌های اسکلتی و غیراسکلتی در

بخش‌های کم عمق‌تر رمپ میانی نسبت داد (شکل 8). به طوری که در نمونه‌هایی که فرامینیفرهای درشت نظری لپیدوسیکلین، آمفاسترینا و اپرکولینابه همراه فرامینیفرهای پلانکتونی فراوان‌تر هستند (شکل 6ب)؛ نمایانگر رسوب‌گذاری در بخش‌های عمیق‌تر (Hottinger 1983, 1997; Romero et al. 2002; Barattolo et al. 2007; Vaziri Moghaddam et al. 2010) و در نمونه‌هایی که فراوانی خانواده میوژیپسینوئیده بیشتر باشد (شکل 6پ)؛ عمدتاً مربوط به بخش‌های کم عمق تر رمپ میانی است (Geel 2000).

ریزرساره ۳، بایوکلاستیک اکینوئید، جلبک قرمز و کستون-پکستون (Bioclastic echinoid, red algal Wackestone – Packstone)
در این ریزرساره جلبک قرمز (10–35 درصد)، اکینو درم (7–15 درصد) فراوان‌ترین آلوكم‌های اسکلتی (شکل 6ت) را تشکیل می‌دهند. از فرامینیفرهای مهم همراه در این ریزرساره می‌توان به فرامینیفرهای درشت با پوسته هیالین و پورسلازانوز، نظیر خانواده میوژیپسینیده و آلوئولینیده و از آلوكم‌های اسکلتی دیگر می‌توان به میلیولید، آمونیا، استراکد و گاستروپود اشاره کرد. پوشش میکرایتی به دور دانه‌ها وجود دارد و نمایانگر تشکیل این ریزرساره در محیط فوتیک است. از فرایندهای مهم دیاژنتیکی می‌توان به تشکیل انیدریت در ماتریکس و دانه‌ها به صورت جانشینی، نئومورفیسم و دولومیتی شدن در ماتریکس اشاره کرد. مقدار ذرات تخریبی در این ریزرساره تا 5 درصد است و عمدتاً از سیلت و ذرات ماسه بسیار ریز با جنس قطعات ولکانیکی و فلدسپاتی تشکیل شده است (Amirshahkarami and Karavan 2015; Geel 2000; Romero et al. 2002; Hallock et al. 1986) فراوانی اکینوئید، این نهشته‌ها را می‌توان به بخش کم عمق رمپ میانی و یا به بخش جلوی رمپ درونی نسبت داد (شکل 8). (Flügle 2010; Peddly 1998).

رساره‌های سدی

رمپ بیرونی

ریزرساره ۱، بایوکلاستیک پلانکتونیک فرامینیفرهای و کستون/ مادستون (Bioclastic planktonic foraminifera Wackestone – Mudstone)
این ریزرساره از آهک‌های رسی دارای فسیل‌های پلانکتونی نظیر *Globigerina / Globigerinoides* تشکیل شده است. حضور فرامینیفرهای پلانکتونی نمایانگر محیط دریایی عمیق و پلازیک است (Mateu Vicens et al. 2008). با توجه به وجود فرامینیفرهای پلانکتونی و شناوری آن‌ها در ماتریکس کریباته (شکل 6الف)، محیط رسوب‌گذاری این ریزرساره به رمپ بیرونی (Flügle 2010; Peddly 1998) نسبت داده شد (شکل 8). این ریزرساره در محدوده مورد مطالعه دارای گسترش کمی است و فقط در قاعده بخش غیرقابل تفکیک e-f وجود دارد (شکل 2).

رمپ میانی

ریزرساره ۲، بایوکلاستیک فرامینیفرهای درشت، جلبک قرمز، بریوزوئر پکستون/ وکستون (Bioclastic large foraminifera, red algal, bryzoan Wackestone – Packstone)
در این ریزرساره بایوکلاستیک، اکینوئید، جلبک قرمز و فرامینیفرهای درشت کفزی نظیر *Miogypsina* sp., *Nephrolepidina* sp., *Operculina* sp., *Amphistegina* sp., فراوان‌ترین آلوكم‌های اسکلتی را تشکیل می‌دهند (شکل 6ب). اندازه ذرات اسکلتی در این رساره در برخی از نمونه‌ها بزرگ‌تر از 2 میلی‌متر است. دولومیتی شدن و جایگزینی انیدریت در ماتریکس از مهم‌ترین فرایندهای دیاژنتیکی در این ریزرساره است. ذرات تخریبی در این ریزرساره عمدتاً در حد و اندازه سیلت و ماسه ریز و مقدار آن 1 تا 4 درصد است. مقدار تخلخل در این ریزرساره تا 2 درصد است (شکل 2 و 3). گلوكونیت در داخل حجرات و به صورت دانه در ماتریکس در این رساره نیز مشاهده شد. بر اساس فراوانی آلوكم‌های اسکلتی محیط رسوبی در این ریزرساره را می‌توان به نواحی عمیق‌تر رمپ میانی تا

فراوانی حدود 7 تا 35 درصد تشکیل شده و آلوکم‌های اسکلتی نظیر میلیولید، گاستروپود، استراکد، بریوزئر، آمونیا، جلبک قرمز و اکینوئید نیز از اجزای مهم اسکلتی را تشکیل می‌دهند (شکل 6 و 7). انجلال، پرشدگی دانه‌ها و ماتریکس توسط ایندریت، دولومیتی شدن، نئومورفیسم و تشکیل استیلولیت از مهم‌ترین پدیده‌های دیاژنتیکی در این ریزرخساره هستند. با توجه به فراوانی فرامینیفرهای بزرگ کفزی با پوسته پورسلانوز می‌توان محیط رسوی تشکیل این ریزرخساره را به رمپ درونی (Geel 2000; Brandano et al. 2002) نسبت داد (شکل 8). در این ریزرخساره، ذرات تخریبی در حد سیلت تا 5 درصد وجود دارد و ذرات تخریبی با اندازه ماسه نیز به مقدار 2-1 درصد تشکیل شده که عمدتاً از ذرات گردنشده با جنس فلدسپات‌های تجزیه‌نشده تشکیل شده است.

ریزرخساره 6، بایوکلاستیک میلیولید وکستون-پکستون (Bioclastic miliolid Wackestone - Packstone) میلیولید (تا 15 درصد) از مهم‌ترین اجزای تشکیل دهنده این ریزرخساره است و از آلوکم‌های دیگر می‌توان به اکینوئید، جلبک قرمز، خانواده سوریتیده، گاستروپود، آمونیا و استراکد (شکل 7‌ب) اشاره کرد. تجمع فسیل‌های با پوسته بدون منفذ نظیر میلیولیدها در زمینه گلی نمایانگر وجود محیط محصور با انرژی کم است (Geel 2000; Romero et al. 2002; Vaziri- Moghaddam and Torabi 2004; Mohamadi et al. 2011; Amirshahkarami and Karavan 2015; Adabi et al. 2016) جایگزینی ایندریت در ماتریکس، دولومیتی شدن و نئومورفیسم از فرایندهای مهم دیاژنتیکی در این ریزرخساره به شمار می‌آید. پوشش میکرایتی عمدتاً به دور دانه‌های اسکلتی تشکیل شده است. ذرات تخریبی در اندازه سیلت تا ماسه دانه‌ریز است و عمدتاً از قطعات دانه‌ریز فلدسپات‌های تجزیه‌نشده و گرد نشده با فراوانی حدود 2 تا 5 درصد تشکیل شده است. با توجه به بافت رسوی و فراوانی میلیولید، این نهشته‌ها به نواحی کم انرژی از رمپ درونی نسبت داده شده است (شکل 8). میزان تخلخل در این ریزرخساره در حدود، 3 تا 20 درصد است.

ریزرخساره 4، بایوکلاستیک پکستون-گرینستون

(Bioclastic Packstone – Grainstone)

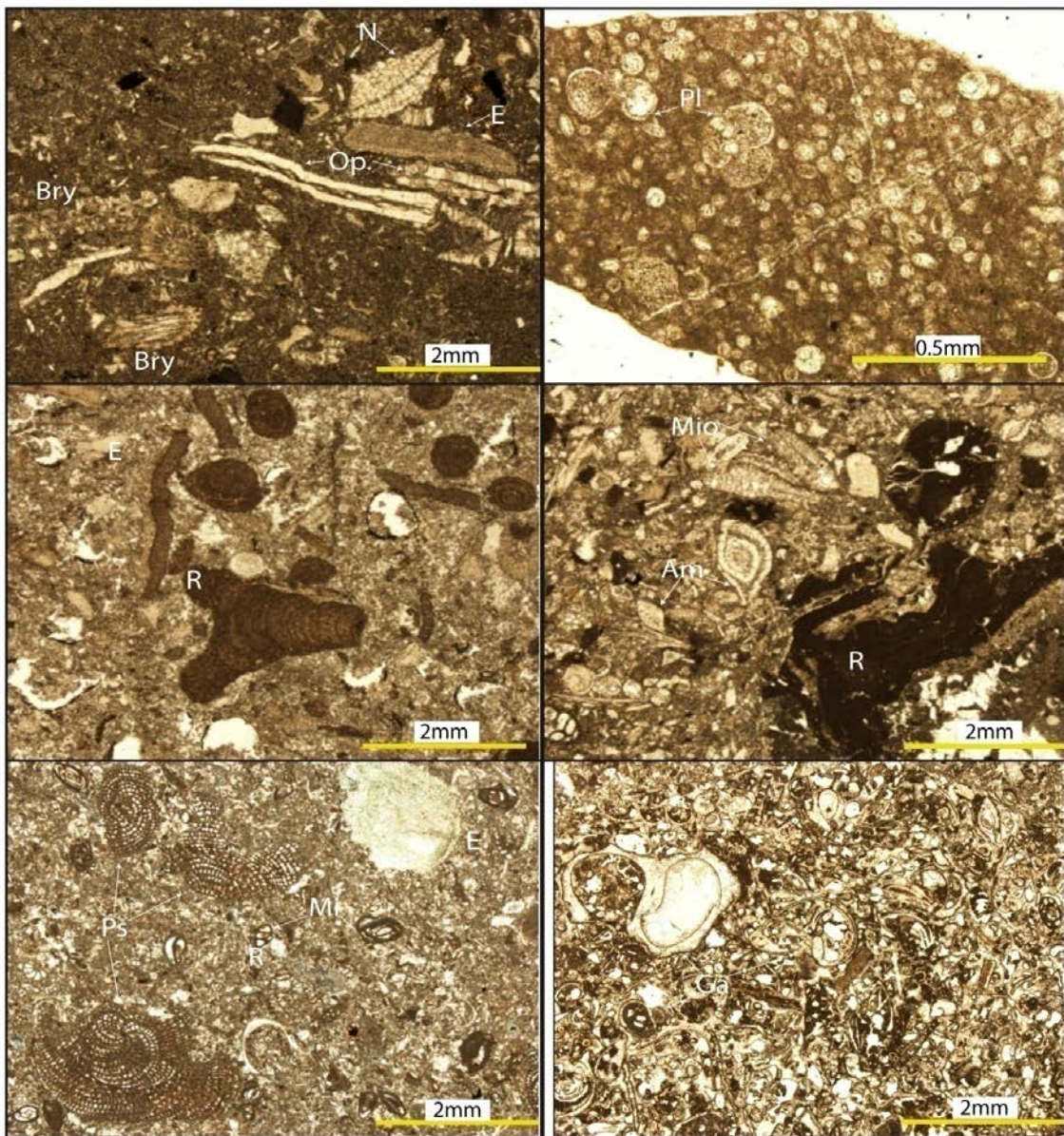
ذرات تشکیل دهنده این ریزرخساره شامل گاستروپود، جلبک قرمز، اکینوئید، میلیولید، استراکد، مرجان و خردنهای دوکفه‌ای است. مقدار فراوانی گاستروپود در این ریزرخساره در برخی از نمونه‌ها تا حدود 50 درصد و از آلوکم‌های غیراسکلتی فراوانی اید 1 تا 3 درصد است. دانه‌ها پوشش میکرایتی دارد و سیمان شعاعی بر روی دانه‌ها و سیمان هم محور¹ نیز بر روی دانه‌های اکینوئید تشکیل شده است. ایندریت ثانویه به صورت تکه‌ای و پرکنده فضای درون دانه‌ها نیز وجود دارد. ذرات تخریبی عمدتاً در حد سیلت و ماسه بسیار ریز بوده و درصد آنها تا 5 درصد است. وجود بافت دانه غالب در این ریزرخساره نمایانگر تشکیل آن در محیط‌های با انرژی متوسط تا زیاد است، این ریزرخساره با توجه به محتوی فسیلی، بافت و جایگاه رخساره‌ای به بخش‌های پر انرژی رمپ درونی و میانی (Flügle 2010; Peddly 1998) نسبت داده شد (شکل 8). تپه‌های زیرآبی نواحی کم عمق رمپ درونی، عمدتاً از قطعات تشکیل دهنده آلوکم‌های اسکلتی نظیر میلیولید، گاستروپود تشکیل شده است (شکل 6‌ث)؛ در صورتی که در تپه‌های زیرآبی نواحی رمپ میانی علاوه بر موارد فوق فسیل‌های نواحی عمیق‌تر نظیر جلبک قرمز، بریوزئر و فرامینیفرهای کفزی درشت با پوسته هیالین نیز یافت می‌شوند (Flügle 2010). مقدار تخلخل در این ریزرخساره تا حدود 50 درصد است و یکی از بهترین رخساره‌های مخزنی را تشکیل می‌دهد.

رخساره‌های لاغونی

ریزرخساره 5، بایوکلاستیک فرامینیفرهای درشت وکستون-پکستون-پکستون (Bioclastic larger foraminifera Wackestone – Packstone)

این ریزرخساره عمدتاً از فرامینیفرهای با پوسته پورسلانوز از خانواده‌های پنروپلیده، آلوئولیتیده، سوریتیده با

¹ Syntactic overgrowth



شکل 6- ریزرساره‌های سازند قم، الف، ریزرساره ۱، بایوکلاستیک (پلانکتونیک فرامینیفر) و کستون / مادستون، فراوانی فرامینیفرهای پلانکتونی در این ریزرساره شاخص است (چاه یورته‌شاه-۱، عمق 1068 متر). ب-پ، ریزرساره ۲، بایوکلاستیک (فرامینیفرهای درشت، جلبک قرمز، بریوزوئر) پکستون / وکستون، فراوانی فرامینیفرهای درشت نفووسیکلینا، اپرکولینا به همراه بریوزئر و فرامینیفرهای پلانکتونی نمایانگر رسوب‌گذاری در بخش‌های عمیق‌تر رمپ میانی است (شکل ب، چاه یورته‌شاه-۱، عمق 1055 متر) و فراوانی فرامینیفرهای درشت نظیر میوژپسینیتا و میوژپسینوئیدس به همراه جلبک قرمز نمایانگر رسوب‌گذاری در بخش‌های کم عمق‌تر رمپ میانی است (شکل پ، چاه یورته‌شاه-۱، عمق 1165 متر). ت، ریزرساره ۳، بایوکلاستیک (اکینوئید، جلبک قرمز) و کستون-پکستون (چاه یورته‌شاه-۱، عمق 985 متر). ث، ریزرساره ۴، بایوکلاستیک پکستون-گرینستون. وجود پوشش میکرایتی، انحلال و پرشدگی و سیمان کربناته از ویژگی‌های این ریزرساره به شمار می‌آید (چاه یورته‌شاه-۱، عمق 979 متر). ج، ریزرساره ۵، بایوکلاستیک (فرامینیفرهای درشت لاغونی) و کستون-پکستون (چاه یورته‌شاه-۱، عمق 1120 متر). حروف اختصاری: Pl (فسیل پلانکتونی)، N (نفوپلیدینا)، Op (اپرکولینا)، Bry (بریوزئر)، E (اکینوئید)، R (جلبک قرمز)، Mio (میوژپسینید)، Am (آمفیسترنیا)، Ga (گاستروپود)، Mi (میلیولید)، Ps (سودوتابرینا)

بافت، محتوی اسکلتی، فراوانی ذرات تخریبی و جایگاه چینه‌شناسی به بخش‌های کم عمق‌تر لاغون تا ناحیه بین جزر و مدي (Flügel 2010) نسبت داده شد (شکل 8). میزان تخلخل در این رخساره در حدود، 3 تا 20 درصد است.

ریزرخساره ۹. مادستون لامینه‌ای (Laminated Mudstone)

وجود فابریک لامینه‌ای از مهم‌ترین ویژگی‌های این ریزرخساره است (شکل 7ج). اجزای تشکیل‌دهنده این ریزرخساره عمدتاً از استراکد، میلیولید، آمونیا و اکینوئید است. دولومیتی شدن، رگچه‌های انحلالی، نئومورفیسم و جانشینی اندیزیت درماتریکس و دانه‌های اسکلتی از مهم‌ترین فرایندهای دیاژنتیکی در این ریزرخساره هستند. ذرات تخریبی در اندازه سیلت با فراوانی حدود 3 تا 5 درصد در این رخساره پراکنده هستند. محیط رسویی این ریزرخساره با توجه به عدم تنوع فسیلی، نادر بودن آثار زیستی و وجود لامیناسیون به ناحیه جزر و مدي تا پریتایdal (Flügle 2010) نسبت داده شد (شکل 8).

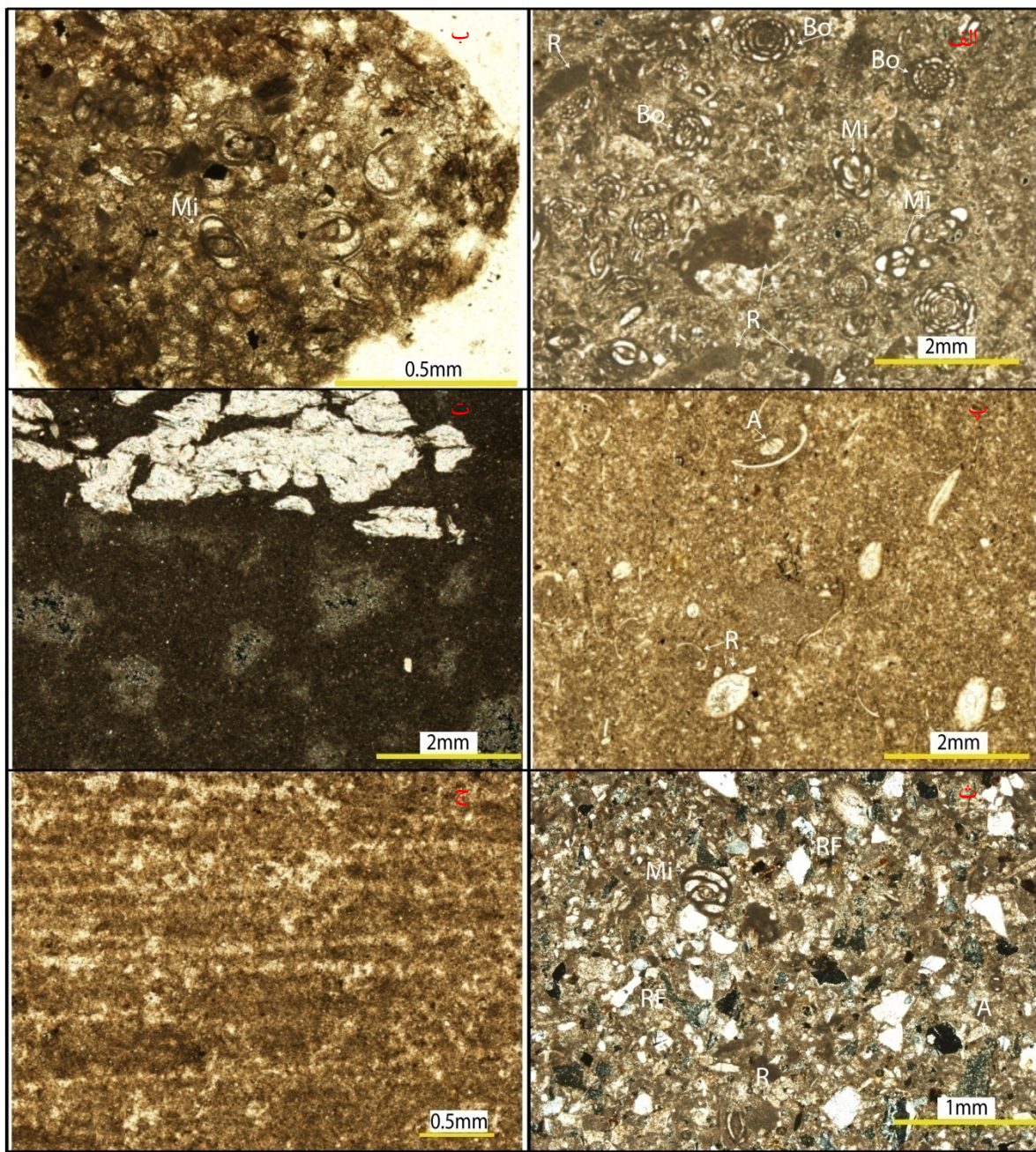
رخساره اندیزیت: این رخساره عمدتاً از اندیزیت تشکیل شده است و با توجه به کم عمق بودن محیط رسویی در رخساره‌های مجاور به نظر می‌رسد که این رخساره در محیط سیاخایی نهشته شده باشد (شکل 8، الف).

پتروفاسیس کنگلومرا: این رخساره در قاعده سازند قم به صورت پیشرونده در برش زیر سطحی یورت‌شاه-1 به ضخامت 4 متر و در برش سطحی موره‌کوه به ضخامت حدود یک متر نهشته شده است. این رخساره نمایانگر پیشروی دریای میوسن بر روی نهشته‌های قاره‌ای سازند قمز زیرین است (شکل 8، ب).

ریزرخساره ۷، بایو کلاستیک استراکد مادستون- وکستون (Bioclastic Ostracoda Mudstone - Wackestone) اجزای تشکیل‌دهنده این رخساره عموماً از استراکد (تا حداقل 15 درصد)، میلیولید (تا 5 درصد)، گاستروپود، جلبک قرمز، آمونیا و اکینوئید است که در یک زمینه میکرایتی به صورت پراکنده قرار گرفته است. جایگزینی دانه‌های اسکلتی نظیر استراکدها و ماتریکس با ژیپس، دولومیتی شدن، فابریک فنسترا (شکل 7ب - ت) از مهم‌ترین پدیده‌های دیاژنتیکی در این ریزرخساره به شمار می‌آیند. ذرات تخریبی در حد سیلت و ماسه بسیار ریز با فراوانی ۱ تا ۴ درصد در این ریزرخساره مشاهده شد. با توجه به وجود فابریک فنسترا و نبود تنوع زیستی، این نهشته‌ها به بخش کم انرژی رمپ درونی (Alsharhan and Kendall 2002; Rasser et al. 2005; Vaziri-Moghaddam et al. 2010)

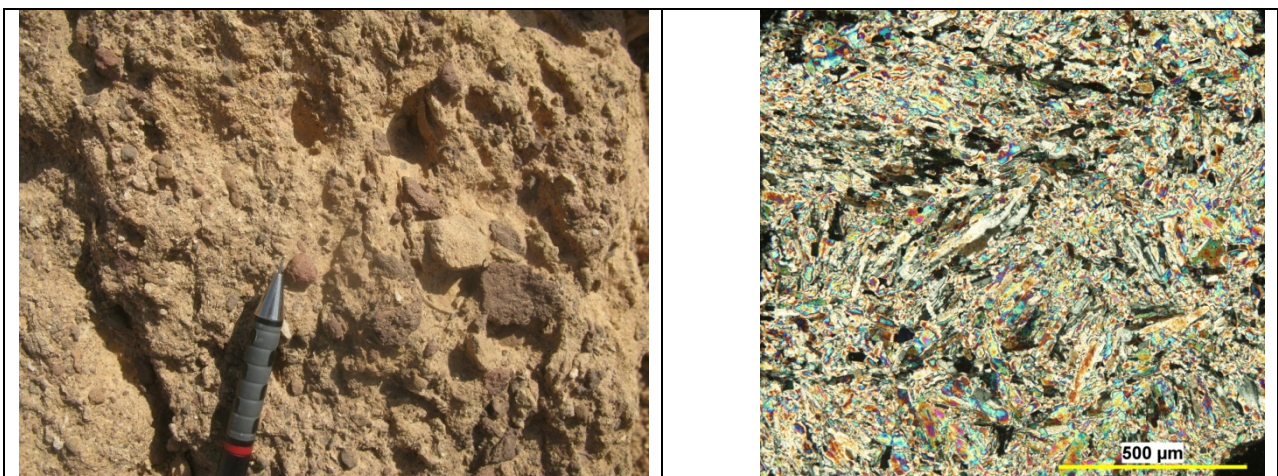
ریزرخساره ۸. بایوکلاستیک وکستون- پکستون ماسه‌دار (Sandy bioclastic Wackestone –Packstone)

عمده‌ترین آلوكم‌های اسکلتی تشکیل‌دهنده این ریزرخساره جلبک قرمز، میلیولید، خانواده سوریتیده، گاستروپود، آمونیا و استراکد هستند (3 تا 10 درصد). از مهم‌ترین ویژگی این ریزرخساره می‌توان به درصد نسبتاً فراوان ذرات تخریبی (تا 40 درصد) اشاره کرد. ذرات تخریبی عمدتاً در حد ماسه درشت تا متوسط است و ذرات در حد میکروگنگلومرا نیز در برخی از نمونه‌ها مشاهده شد. جنس ذرات تخریبی عمدتاً از قطعات خردہ سنگی و فلدسپات است که تجریه نشده و زاویه‌دار هستند و نمایانگر مقدار حمل نقل کم این ذرات است (شکل 7ث). جایگزینی برخی از دانه‌های اسکلتی و ماتریکس توسط اندیزیت، دولومیتی شدن، نئومورفیسم و انحلال فشاری از بازترین پدیده‌های دیاژنتیکی در این ریزرخساره هستند. محیط رسویی این ریزرخساره با توجه به



شکل 7- الف: ریزرساره ۵، بایوکلاستیک (فرامینیفرهای درشت لاغونی) وکستون – پکستون (نمونه ۸، موره کوه). ب: ریزرساره ۶، بایوکلاستیک (میلیولید) وکستون – پکستون، دولومیتی شدن و نومورفیسم مهم‌ترین پدیده‌های دیاژنتیکی در این ریزرساره به شماره ۶ می‌رند. (چاه بورتشاه-۱، عمق ۱۰۶۷ متر) پ-ت: ریزرساره ۷، بایوکلاستیک (استراکد) مادستون – وکستون، فراوانی یک گونه تنوع زیستی کم نمایانگر رسوب‌گذاری در محیط با استرس زیاد و وجود فابریک فنسترا نمایانگر رسوب‌گذاری در محیط جزر و مدی است (چاه بورتشاه-۱، عمق ۹۹۰ متر). ث: ریزرساره ۸، بایوکلاستیک وکستون – پکستون ماسه‌دار، در این ریزرساره ذرات ماسه‌ای عمدتاً از قطعات خردسنجی و فلدسپات تشکیل شده و ذرات دانه‌درشت زاویدار و جورنشده هستند (برش موره کوه نمونه ۲). ج: ریزرساره ۹، مادستون لامینه‌ای، تنوع کم فسیلی و وجود فابریک لامینه‌ای نمایانگر تشکیل این ریزرساره در ناحیه جزر و مدی تا پربیاندال است (برش موره کوه نمونه ۴۶).

حروف اختصاری: Bo (بورلیس)، R (جلبک قرمز)، A (آمونیا)، Mi (میلیولید)، RF (قطعات خردسنجی).



شکل 8- الف: بخش تبخیری d در چاه یورت‌شاه-1 در عمق 1083 متری. ب: نهشته‌های کنگلومرای قاعده سازنده قم در برش موره‌کوه که عمدتاً از قطعات ولکانیکی تشکیل شده است.

محیط رسویی، با استفاده از مدل چینه‌نگاری سکانسی (Hunt and Tucker 1995; 1992) اقدام به تفکیک سه سکانس رسویی درجه سوم در برش زیر سطحی یورت‌شاه-1 و یک سکانس رسویی درجه سوم در برش سطحی موره‌کوه به شرح زیر شد (شکل‌های 2 و 3).

سکانس 1

این سکانس رسویی درجه سوم در چاه یورت‌شاه-1، 65/5 متر ضخامت دارد (شکل 2). مرز زیرین این سکانس با توجه به قرارگیری نهشته‌های سازنده قم بر روی نهشته‌های ولکانیکی اثوسن از نوع 1 و مرز فوکانی آن با توجه به وجود نهشته‌های تبخیری بخش d از نوع دوم است. بررسی توالی، بافت، رخساره‌های رسویی، درصد آلومک‌های اسکلتی و غیراسکلتی و سطوح چینه‌نگاری به شناسایی دسته رخساره‌های تراز پایین¹، پیشرونده² و تراز بالا³ انجامید. این سکانس در برگیرنده واحد سنگ چینه‌ای c₄ است و سن آن به آکیتابین و بایوزون 24 SBZ نسبت داده شد (شکل 2).

مدل رسویی

در زمان رسوب‌گذاری سازنده قم علاوه بر تغییرات سطح آب دریا دو عامل تکتونیک و توپوگرافی دیرینه نیز در شکل‌گیری ترتیب رخساره‌ها و محیط رسویی مؤثر بوده‌اند (Jalali et al. 2009). لذا امکان ارائه یک مدل رسویی واحد برای حوضه قم امکان‌پذیر نیست. در این مطالعه، با توجه به اطلاعات حاصل از مشاهدات صحرایی، تجزیه و تحلیل ریزرخساره‌ها، عدم وجود رخساره‌های توربیدیاتی و ریف‌های سدی، مدل رسویی رمپ کربناته (Burchette and Wright 1992) جهت این نهشته‌ها انتخاب شد.

بررسی رخساره‌ها و کمربندهای رخساره‌ای، تغییرات عمودی و جانبی آن‌ها، ساختمنهای رسویی و نوع آلومک‌های اسکلتی و غیر اسکلتی و واپستگی آن‌ها به نور نشان‌دهنده رسوب‌گذاری رخساره‌های توالی مورد مطالعه بر روی کمربندهای رخساره‌ای رمپ بیرونی، میانی و درونی است (شکل 9).

چینه‌نگاری سکانسی

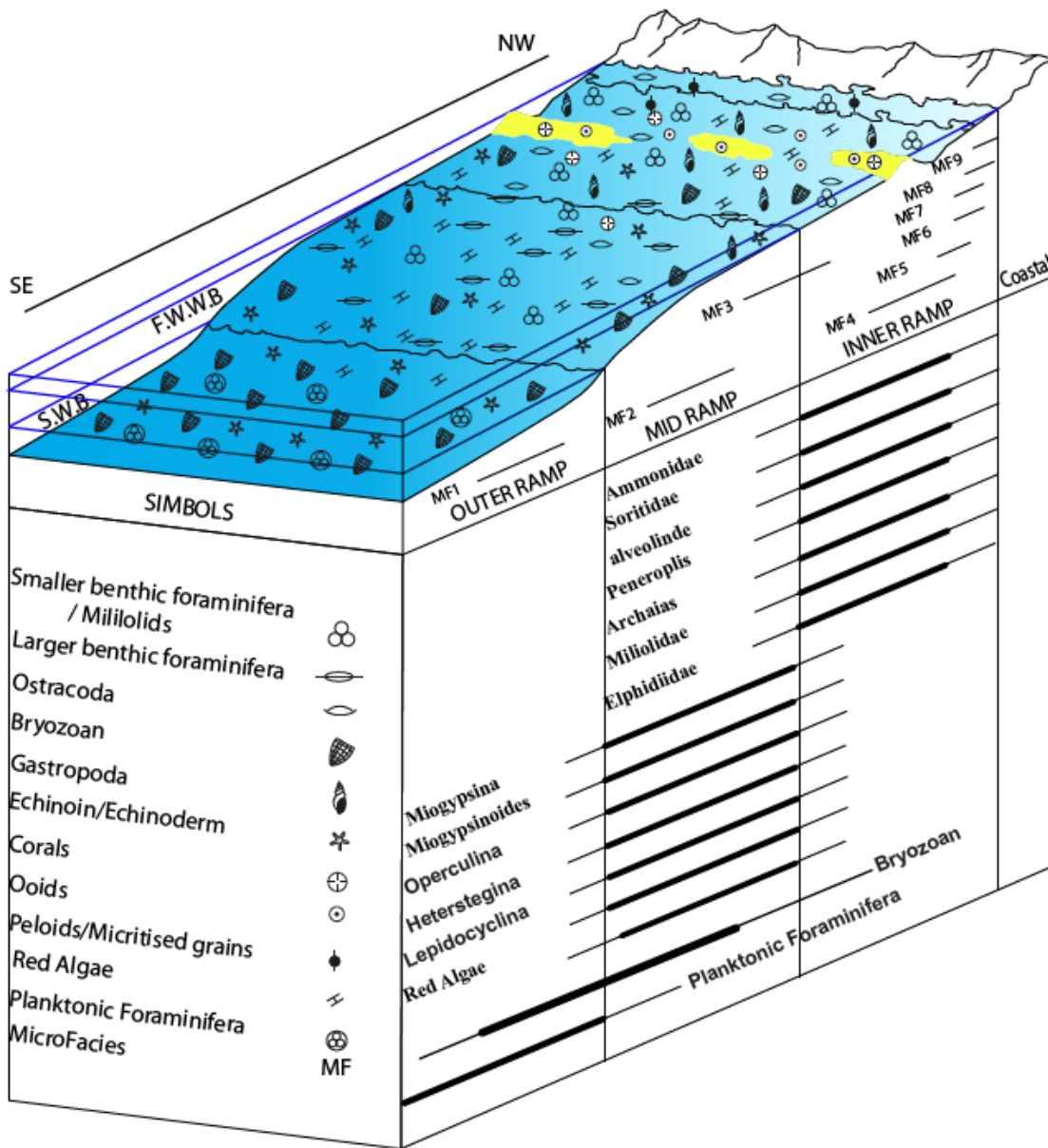
در این تحقیق با تلفیق اطلاعات حاصل از مشاهدات صحرایی، مطالعات میکروسکوپی، تغییرات ریزرخساره‌ها و

¹ Sequence Boundary Type1 (SB 1)

² Lowstand Systems Tract (LST)

³ Transgressive Systems Tract (TST)

⁴ Highstand Systems Tract (HST)



شکل ۸- مدل رسوبی سازند قم بر اساس نحوه پراکنده‌گی آلومکم‌های اسکلتی، غیر اسکلتی و ریزرساره‌ها

آب دریا^۱ در بیشترین پسنیتی رخساره‌ها^۲ در نهشته‌های پکستونی دارای، اکینوئید، بریوزئر، جلبک قرمز و فرامینیفرهای درشت کفزی با پوسته هیالین مربوط به محیط رسوبی رمپ میانی (ریزرساره ۳) قرارداده شد (شکل ۲).

رسوب‌گذاری سازند قم در چاه یورته‌شاه-۱ با نهشته‌های کنگلومرات پیشرونده، دارای فسیل‌های جلبک قرمز و اکینوئید شروع شده که این توالی نمایانگر دسته رخساره‌ای تراز پایین است (پتروفاسیس کنگلومرا). بالا آمدن سریع سطح آب دریا به رسوب‌گذاری دسته رخساره‌ای پیشرونده از رسوبات کربناته در کمربنده رمپ درونی و میانی در برش مورد مطالعه منجر شد (ریزرساره‌های ۸ و ۳). حداقل سطح پیشروی

^۱ Maximum flooding surface (mfs)

^۲ Retrogradation

بیرونی تشکیل شده است (ریز رخساره‌های شماره 1، 2 و 8). سطح حداکثر پیشروی آب دریادر چاه یورته‌شاه-1، مطابق بر بیشترین فراوانی فرامینیفرهای پلانکتونی و در ریز رخساره 1، قرار داده شد (شکل 2).

دسته رخساره‌ای تراز بالا در چاه یورته‌شاه-1، از پاراسکانس‌های کم عمق شونده تشکیل شده است (ریز رخساره‌های 2، 3، 6، 4 و 9)، روند پیش‌نشینی رخساره‌ها در این دسته رخساره‌ای در برش‌های مورد مطالعه با گذر تدریجی محیط رمپ میانی به رمپ درونی مشخص می‌شود. تشکیل نهشته‌های تبخیری در چاه یورته‌شاه-1، به ستبرای حدود 2 متر نمایانگر تشکیل دسته رخساره‌های مرحله افت سریع آب دریاست. مرز بالایی این سکانس در چاه یورته‌شاه-1، نوع دوم تشخیص داده شد. در زمان تشکیل این سکانس رسویی برش موره‌کوه از آب خارج بوده و این سکانس رسویی در محدوده تاقدیس موره‌کوه تشکیل نشده است.

سکانس 3

این سکانس رسویی درجه سوم در چاه یورته‌شاه-1 با ضخامت حدود 215 متر و در برش سطح‌الارضی موره‌کوه 50 متر ضخامت دارد. این سکانس در برگیرنده واحد سنگ‌چینه‌ای e-f در برش زیر سطحی یورته‌شاه-1 و بخش f در برش سطحی موره‌کوه است. سن این سکانس رسویی بر اساس بایوزون 25 SBZ به بوردیگالین نسبت داده شد (شکل 2 و 3). در این سکانس، دسته رخساره‌ای تراز پایین، پیش‌روندۀ تراز بالا تشخیص داده شد.

مرز زیرین این سکانس در چاه یورته‌شاه منطبق بر رأس واحد تبخیری و در برش موره‌کوه در همبُری آهک‌های ماسه‌ای-کنگلومرادار با نهشته‌های ولکانیکی اثوسن قرار داده شد. این مرز در برش چاه یورته‌شاه-1 از نوع دوم و در برش موره‌کوه از نوع اول در نظر گرفته شد. در قاعده برش موره‌کوه توالی نهشته‌های آهک ماسه‌ای-کنگلوماری که

دسته رخساره‌ای تراز بالا، با گذر تدریجی مجموع رخساره‌های رمپ میانی به رمپ درونی که همراه با افزایش مقدار ذرات تخریبی است (ریز رخساره‌های شماره 4، 5، 6 و 8)، شناسایی شده است. این مجموعه رخساره با توجه به روند پیش‌نشینی کمربندهای رخساره‌ای به سمت دریا و افزایش مقدار ذرات تخریبی، نمایانگر کاهش نسبی عمق آب دریاست. برش موره‌کوه (شکل 1) در زمان تشکیل این سکانس رسویی از آب خارج بوده و این سکانس رسویی در آن تشکیل نشده است.

سکانس 2

این سکانس رسویی درجه سوم در چاه یورته‌شاه-1 با ضخامت 83 متر گسترش دارد. این سکانس در برگیرنده بخش d و بخش زیرین واحد سنگ‌چینه‌ای e-f بوده و سن آن با توجه به بایوزون 25 SBZ به بوردیگالین نسبت داده شد (شکل 2). در این سکانس دسته رخساره‌ای تراز پایین، پیش‌روندۀ تراز بالا و مرحله افت سریع آب دریا تشخیص داده شد.

مرز زیرین این سکانس در چاه یورته‌شاه-1، با توجه به تشکیل تبخیری‌های بخش d از نوع مرز سکانسی نوع دوم تشخیص داده شد. دسته رخساره‌ای تراز پایین با نهشته‌های تبخیری گچ بخش d از سازند قم در برش مورد مطالعه مشخص می‌شود (رخساره اندیزیت). با توجه به وجود ریز رخساره 8 در ریز و بالای نهشته‌های گچ d به نظر می‌رسد این نهشته‌های تبخیری مربوط به محیط سبخا باشند. بخش d در بخش مرکزی حوضه رسویی قم تقریباً در اکثر برش‌ها و چاه‌ها در جایگاه چینه‌ای و سنی تقریباً یکسانی وجود داشته و می‌توان از آن به عنوان یک شاخص چینه‌شناسی استفاده کرد. با بالا آمدن سریع سطح آب دریا، شرایط کولاپی حاکم بر حوضه قم مجدداً به شرایط دریایی نرمال تغییر کرد و دسته رخساره‌ای پیش‌روندۀ در چاه یورته‌شاه-1، که عمدتاً از نهشته‌های آهکی مربوط به بخش رمپ درونی، میانی و

بررسی تغییرات سکانس‌های رسوبی از تاقدیس یورته‌شاه به سمت تاقدیس موره‌کوه نمایانگر عدم تشکیل سکانس‌های رسوبی مربوط به آکیتانین و بوردیگالین زیرین در محدوده تاقدیس موره‌کوه است. با بررسی خطوط لرزه‌ای در محدوده مورد مطالعه مشخص شد که ضخامت نهشته‌های الیگو-میوسن از جنوب شرق به شمال غرب کاهش یافته است. در این محدوده وجود روه‌مپوشانی^۱ نمایانگر تغییرات سطح آب دریا و تکتونیک محلی در زمان الیگو-میوسن است، به طوری که در محدوده جنوب شرقی سکانس‌های اکیتانین و بوردیگالین پیشین (سکانس‌های ۱ و ۲) نهشته شده و این سکانس‌ها به سمت شمال غرب با توجه به عدم گسترش دریا تشکیل نشده و فقط سکانس سوم با سن بوردیگالین در این محدوده (تاقدیس موره‌کوه) تشکیل شده است (شکل ۱۰).

اندازه ماسه‌ها روند افزایشی به سمت بالا را از خود نشان می‌دهند (ریز رخساره ۸) به عنوان نهشته‌های دسته رخساره‌ای تراز پایین در نظر گرفته شد (شکل ۳). قابل ذکر است که در برش برداشت شده در جنوب شرق تاقدیس موره‌کوه در قاعده سازند قم حدود ۳ متر نهشته‌های کنگلومرا بی‌گزارش شده (باغبانی و همکاران ۱۳۷۵) که نمایانگر دسته رخساره تراز پایین است و معادل با توالی آهک ماسه‌ای-کنگلومرا دار در نظر گرفته شد. در چاه یورته‌شاه-۱ این دسته رخساره‌ای قابل شناسایی نیست.

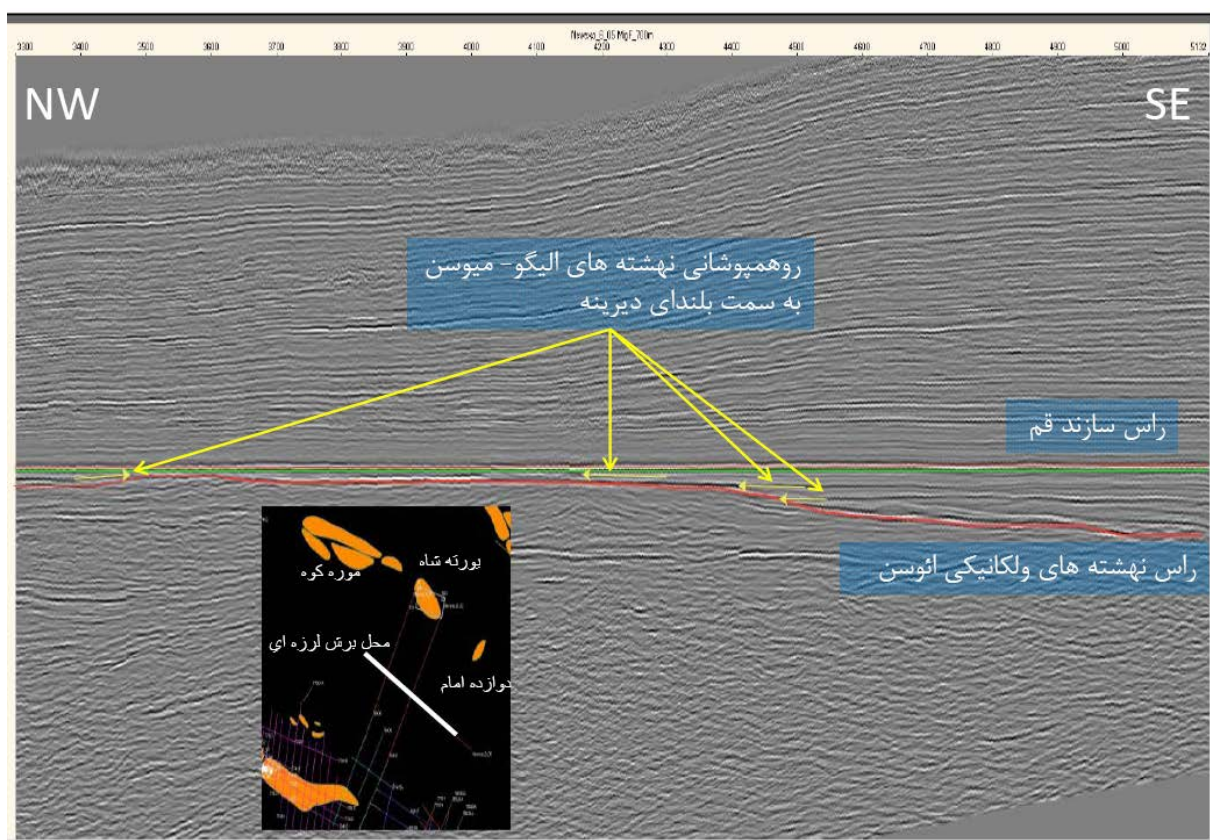
دسته رخساره‌های پیشرونده، در چاه یورته‌شاه-۱ و برش سطحی موره‌کوه نیز با توجه به قرارگیری آن در بخش‌های کم عمق تر حوضه، به ترتیب از نهشته‌های آهکی مربوط به بخش رمپ میانی و درونی تشکیل شده است (ریز رخساره‌ای ۳ و ۴ در برش زیرسطحی یورته‌شاه-۱ و ریز رخساره‌ای ۴ و ۵ در برش موره‌کوه). سطح حداقل پیش روی آب دریا (mfs) در چاه یورته‌شاه-۱ منطبق بر بیشترین فراوانی اکینوئید، بریوزئر و جلبک قرمز و کاهش فرامینفرهای با پوسته پورسلانوز (ریز رخساره ۳، شکل ۲) و در برش سطحی موره‌کوه منطبق با بیشترین تنوع موجودات نظیر اکینوئید، جلبک قرمز، فرامینفرهای درشت و کمترین میزان ذرات تخریبی قرار داده شد (ریز رخساره ۴، شکل ۳).

دسته رخساره‌های تراز بالادر برش زیر سطحی یورته‌شاه-۱ (شکل ۲)، در بردارنده پاراسکانس‌های کم عمق شونده در محیط رمپ درونی است (ریز رخساره‌ای ۴، ۵، ۶، ۷، ۸ و ۹) و برش سطحی موره‌کوه ابتدا دارای چیدمان افزاینده^۲ و سپس در بردارنده پاراسکانس‌های کم عمق شونده در محیط رمپ درونی (ریز رخساره‌ای ۵، ۸ و ۹) است (شکل ۳). مرز بالایی این سکانس منطبق با سازند قرمز بالایی و از نوع یک در برش‌های مورد مطالعه است.

تطابق ناحیه‌ای

¹ Aggradation

² Onlap



شکل ۱۰- برش لرزه‌ای به موازات تاقدیس‌های دوازده امام - موره‌کوه. این برش لرزه‌ای بر روی رأس سازند قم مسطح است. این برش نمایانگر تشکیل سکانس‌های قدیمی تر سازند قم در بخش جنوب شرقی و روهمپوشانی به سمت شمال غربی و تشکیل سکانس‌های جدیدتر در این محدوده است.

برش زیر سطحی یورته‌شاه-1، با توجه به وجود سن بخش d با توجه به عدم وجود فسیل‌های شاخص و با توجه به منحنی تغییرات جهانی سطح آب دریا (Hardenbol et al., 1998) و مفاهیم چینه‌نگاری سکانسی به مرز آکیتانیں / بوردیگالین نسبت داده شد.

سن بخش تغکیک‌نشده e-f در برش زیر سطحی یورته‌شاه-1، و بخش f در برش سطحی موره‌کوه بر اساس وجود فرامینیفرهای درشت نظیر *Borelis melo curdica* و *Miogypsinoides* cf. *Miogypsinoides* cf. *globulina* به بوردیگالین و بایوزون 25 SBZ نسبت داده شده است.

نتیجه

سازند قم در برش زیر سطحی یورته‌شاه-1 به ضخامت 493 متر شامل نهشته‌های سنگ آهک، سنگ آهک رسی، سنگ آهک ماسه‌ای، دولومیت و انیدریت است به بخش‌های c₁ تا f تفکیک گردید. سازند قم در برش سطح‌الارضی موره‌کوه به ضخامت 50 متر از سنگ آهک‌های بخش f تشکیل شده است.

در این مطالعه در ارتباط با تعیین سن نهشته‌های سازند قم به منظور ایجاد یک چهارچوب زمانی برای تغکیک سکانس‌های رسویی درجه سوم، از مجموعه همراه فرامینیفرهای درشت و مفاهیم چینه‌نگاری سکانسی استفاده و بر این اساس سن سازند قم ارزیابی گردید. سن بخش c₄ در

- سکانسی و سیستم تراکت‌ها در بررسی‌های سطح‌الارضی. بیست و چهارمین گردهمایی علوم زمین، سازمان زمین‌شناسی کشور. با غبانی د. الهیاری م. شاکری ع. 1375. بررسی حوضه رسوی قم و ارزیابی توان هیدروکربوری آن (ایران مرکزی). گزارش زمین‌شناسی شماره، 1838، مدیریت اکتشاف شرکت ملی نفت، 104 ص.
- بهفروزی ا. صفری ا. و وزیری مقدم ح. 1389. زیست چینه‌نگاری سازند قم در ناحیه چنان (شمال غرب کاشان) بر اساس روزن داران و تطابق آن با برخی از نقاط ایران مرکزی. نشریه علمی-پژوهشی رخدارهای رسوی، زمستان 1389 (2)، 3(2): ص 40-31.
- بهفروزی ا. صفری ا. و وزیری مقدم ح. 1391. پالئوکولوژی و اجتماعات کربناته سازند قم در منطقه چنان (شمال غرب کاشان). نشریه علمی پژوهشی رخدارهای رسوی، شماره 5(1): ص 1-12.
- جلالی م. صادقی ع. و آدابی م. ح. 1395. ریزرخدارهای محیط رسوی و چینه‌نگاری سکانسی سازند قم در برش سطحی شرق سیاه‌کوه (جنوب گرم‌سار). فصلنامه زمین‌شناسی ایران، در حال چاپ.
- دانشیان ج. و درخشانی م. 1387. پالئوکولوژی فرامینیفرای سازند قم در برش قصر بهرام، دامنه‌های شمال غربی سیاه‌کوه، واقع در جنوب گرم‌سار. مجله علوم پایه دانشگاه اصفهان، شماره 1، 1-16 ص.
- دانشیان ج. و آفتابی آ. 1388. بیواستراتیگرافی فرامینیفرای سازند قم بر اساس یافته‌های جدید در برش چینه‌شناسی طاق‌دیس نواب در جنوب شرق کاشان. مجله علوم دانشگاه تهران. جلد 35، 137-154 ص.
- رحیمی متین ل. 1386. بیواستراتیگرافی و سکانس استراتیگرافی سازند قم در جنوب ورامین (دوازده

با توجه به مشاهدات صحرایی و آزمایشگاهی، نظری عدم وجود رخدارهای توربیدیاتی، ریزشی و ریف‌های سدی و یکنواختی رخدارهای سنگی در محدوده مورد مطالعه، مدل رسوی رمپ کربناته برای این نهشته تعیین شد. بر اساس بافت رسوی، نوع آلوکم‌های اسکلتی و غیراسکلتی و درصد فراوانی آنها 9 ریزرخداره و دو رخداره سنگی از بخش رمپ بیرونی تا ناحیه پری تایdal شناسایی گردید و ضمن بررسی تغییرات توالی ریزرخداره‌ها نوسانات سطح آب دریا نیز مشخص شد.

تعداد سه عدد سکانس رسوی درجه سوم در برش زیر سطحی یورته‌شاه-1 و یک عدد سکانس رسوی درجه سوم در برش موره‌کوه بر اساس مشاهدات صحرایی، مطالعات میکروسکوپی و تعییر و تفسیر رخدارهای تفکیک شد. سکانس اول با سن آکیتانین در برگیرنده بخش c4 و سکانس دوم در برگیرنده بخش d و قسمت پایینی بخش غیرقابل تفکیک e و f با سن بوردیگالین در برش زیر سطحی یورته‌شاه-1 است. سکانس سوم با سن بوردیگالین، در برگیرنده قسمت بالایی، از بخش غیرقابل تفکیک e و f در برش زیر سطحی یورته‌شاه-1 و بخش f از برش موره‌کوه است.

تشکر و قدردانی

از مدیریت محترم پژوهش و فناوری اکتشاف شرکت ملی نفت ایران، برای فراهم کردن امکانات عملیات صحرایی و مطالعات دفتری، کمال تشکر و امتنان را داریم.

منابع

- آقاباتی ع. 1383. زمین‌شناسی ایران: انتشارات سازمان زمین‌شناسی و اکتشافات معدنی کشور، 586 ص.
- ایمن دوست آ. و امینی ع. 1384. چینه‌شناسی سکانسی سازند قم در مقطع شوراب با نگرشی بر پارامترهای مؤثر در تشخیص سطوح اصلی

- paleogeography and tectonic evolution of Iran. National Research Council of Canada, 18: 210–263.
- Bozorgnia F. 1965. Qum Formation stratigraphy of the Central Basin of Iran and its intercontinental position. *Bulletin of the Iranian Petroleum Institute*, 24: 69–75.
- Bozorgnia F. 1961. Investigation on Microfossils of the Qum Formation from the well Yort- I Shah-1. National Iran Oil Company Exploration Directorate, Technical Report 259, Unpublished.
- Brandano M. and Corda L. 2002. Nutrients, sea level and tectonics: constrains for the facies architecture of a Miocene carbonate ramp in central Italy. *Terra Nova*, 14: 257–262.
- Burchette T.P. and Wright V.P. 1992. Carbonate ramp depositional systems. *Sedimentary Geology*, 79: 3–57.
- Cahuzac B. Poignant A. 1997. Essai de biozonation dans les bassins européens à l'aide des grands foraminifères nérithiques. *Bulletin Society Géologique de France*, 168 (2): 155–169.
- Daneshian J. and Aftabi A. 2010. Biostratigraphy of Qom Formation Foraminifers based on new exploration in Navab Anticline surface section in South of Kashan. *Journal of Science (University of Tehran) (JSUT)*, 35: 137–154.
- Dozy J. J. 1944. A geological reconnaissance of the Kuhistan- i- Qum. National Iranian Oil Company Exploration Directorate, Geological Report 304, Unpublished.
- Dozy J. 1955. A sketch of post-Cretaceous volcanism in Central Iran. National Iranian Oil Company Exploration Directorate, Geological Report 186, Unpublished.
- Drooger C.W. 1993. Radial Foraminifera: morphometrics and evolution. *Verhandelingen der koninklijke Nederlandse Akademie van wetenschappen, Afdeling Natuurkunde*, 41: 1–242.
- Dunham R.J. 1962. Classification of carbonate rocks according to depositional texture. *American Association of Petroleum Geologists Memoir*, 1: 108–121.
- Embry A.F. and Klovan J.E. 1971. A late Devonian reef tract on northeastern Banks Islands, Northwest Territories. *Bulletin of Canadian Petroleum Geology*, 19: 730–781.
- Flügel E. 2010. Microfacies of carbonate rocks, analysis, interpretation and application. Springer, 984 p.
- Furrer M.A. and Soder P.A. 1955. The Oligo-Miocene marine formation in the Qum region امام- یورت‌شاه). پایان‌نامه کارشناسی ارشد، دانشگاه شهید بهشتی، تهران، 136 ص.
- لامسی ا. و امین رسولی ه. 1382. چینه‌نگاری سکانسی سازند قم در جنوب بخش مرکزی حوضه رسوی ایران مرکزی. بیست و دومین گردهمایی علوم زمین، سازمان زمین‌شناسی کشور.
- نوری ن. 1377. میکروفارسیس، محیط رسوی و چینه‌شناسی توالی‌های سازند قم در منطقه شرق سمنان. مجموعه مقالات دومین همایش انجمن زمین‌شناسی کشور.
- Abaie I. Ansari H.J. Badakhshan A. and Jaafari A. 1964. History and development of the Alborz and Saraje fields of central Iran. *Bulletin of Iranian Petroleum Institute*, 15: 561–574.
- Adabi M.H. Kakemem U. Sadeghi A. 2016. Sedimentary facies, depositional environment and sequence stratigraphy of Oligocene – Miocene shallow water carbonate from the Rig Mountain, Zagros basin (SW Iran). *Carbonates and Evaporites*, 31: 69–85.
- Alavi M. 1991. Tectonic Map of the Middle East: Tehran. Geological Survey of Iran, Scale 1:5,000,000.
- Alavi M. 1994. Tectonics of the Zagros Orogenic belt of Iran: new data and interpretations. *Tectonophysics*, 229: 211–238.
- Alsharhan A.S. Kendall C.G. St.C. 2002. Holocene carbonate/evaporates of Abu Dhabi, and their Jurassic ancient analogs. In: Barth H.J. Bore B.B. 2002. *Sabkha Ecosystems*. Kluwer Academic Publisher, Netherlands, 187 - 202.
- Amirshahkarami M. and Karavan M. 2015. Microfacies models and sequence stratigraphic architecture of the Oligocene/Miocene Qom Formation, south of Qom City, Iran. *Geoscience Frontiers*, 6: 593–604.
- Banner F.T. and Highton J. 1989. On *Pseudotaberina malabarica* (Carter) (Foraminiferida). *Journal of Micropalaeontology*, 8 (1): 113–129.
- Barattolo F. Bassi D. Romero R. 2007. Upper Eocene larger foraminiferal-coraline algal facies from the Klokova Mountain (south continental Greece). *Facies*, 53: 361–375.
- Berberian, M. and King G.C.P. 1981. Towards a

- Jalai M. Feizi A. Asilian H. Motamed H. and Motamed B. 2009. Sequence Stratigraphy and basin evolution of Miocene deposits in the North-West part of Central Iran Basin, International Lithosphere Program (ILP), 5th workshop of the ILP-Task force on sedimentary basin, Abu Dhabi.
- Jalali M. Sadeghi A. Adabi M.H. 2017. Microfacies, sedimentary environment and sequence stratigraphy of Qom Formation in SE Siah Kuh Surface Section (South of Garmsar). *Geology of Iran*, 39:83-102.
- James G.A. and Wynd J.C. 1965. Stratigraphic nomenclature of Iranian oil consortium agreement area. *American Association of Petroleum Geologists Bulletin*, 49(2): 94-156.
- Karavan M. Mahboubi A. Vaziri-Moghaddam H. Moussavi-Harami R. 2015. Sedimentary facies analysis and sequence stratigraphy of Qom Formation deposits in NE Delijan-NW Central Iran. *Geosciences Journal*, 24:237-249.
- Khalili M. Beavers R. and Torabi H. 2007. Depositional environment of the evaporitic (d-Member) of the Qom formation (Central Iran). *Carbonates and Evaporites*, 22 (2):101-112.
- LESS Gy. ÖZCAN E. and OKAY A. 2011. Stratigraphy and Larger Foraminifera of the Middle Eocene to Lower Oligocene Shallow-Marine Units in the Northern and Eastern Parts of the Th race Basin, NW Turkey. *Turkish Journal of Earth Sciences*, 20: 793-845.
- Letouzey J. and Rudkiewicz J.L. 2005. Structural geology in the Central Iranian Basin. *Institut Français du Pétrole report* 79.
- Mohaijel M. Fergusson C.L. and Sahandi M.R. 2003. Cretaceous-Tertiary convergence and continental collision, Sanandaj-Sirjan Zone, western Iran. *Journal Asian Earth Science*, 21: 397-412.
- Mohammadi E. Safari A. Vaziri-Moghaddam H. Vaziri M.R. and Ghaedi M. 2011. Microfacies analysis and paleoenvironmental interpretation of the Qom Formation, South of the Kashan, Central Iran. *Carbonates and Evaporates*, 26: 255-271.
- Mohammadi E. Vaziri M.R. and Dastanpour M. 2015. Biostratigraphy of the nummulitids and lepidocyclinids bearing Qom Formation based on larger benthic foraminifera (Sanandaj - Sirjan fore-arc basin and Central Iran back-arc basin, Iran). *Arabian Journal of Geosciences*, 8(1): 403-423.
- (Central Iran): Rome, Italy. In: Proceedings of the 4th World Petroleum Congress, Rome, 267- 277.
- Gansser A. 1955. New aspects of the geology in central Iran: National Iranian Oil Company Exploration Directorate, Geological Report 160, Unpublished.
- Geel T. 2000. Recognition of stratigraphic sequences in carbonate platform and slope deposits: empirical models based on microfacies analysis of Palaeogene deposits in southeastern Spain: Palaeogeogr. Palaeoclimatol. Palaeoecol, 155:211-238.
- Guoqiang X. Shaonan Z. Zhongdong L. Lailiang S. and Huimin L. 2007. Carbonate Sequence Stratigraphy of a Back-Arc Basin: A Case Study of the Qom Formation in the Kashan Area, Central Iran. *Acta Geologica Sinica*, 81 (3): 488-500.
- Hallock P. and Glenn E.C. 1986. Larger foraminifera: a tool for paleoenvironmental analysis of Cenozoic carbonates depositional facies. *Palaeos*, 1:55-64.
- Hottinger L. 1983. Processes determining the distribution of larger foraminifera in space and time. In: Meulenkamp J.E. (Ed.), Reconstruction of marine paleoenvironments. Utrecht Micropaleontological Bulletin, 30: 239-253.
- Hottinger L. 1997. Shallow benthic foraminiferal assemblages as signals for depth of their deposition and their limitations. *Bulletin. Society. Geological. France*, 168:491-505.
- Hunt D. and Tucker M. E. 1993. Sequence stratigraphy of carbonate shelves with an example from the mid-Cretaceous (Urgonian) of southeast France. *International Association of Sedimentologists, Special Publication*, 18: 307-341.
- Hunt D. and Tucker M. E. 1995. Stranded parasequences and the forced regressive wedge systems tract: deposition during base level fall – reply: *Sedimentary Geology*, 95:147-160.
- Hardenbol J. Thierry J. Farley M. B. Jacquin T. De Graalcansky P. C. and Vail P. R. 1998. Mesozoic and Cenozoic sequence chronostratigraphic framework of European basins. *SEPM Special Publications*, 60: 3-14.
- Işık U. Hakyemez A. 2011. Integrated Oligocene-Lower Miocene Larger and Planktonic Foraminiferal Biostratigraphy of the Kahramanmaraş Basin (Southern Anatolia, Turkey). *Turkish Journal of Earth Sciences*, 20: 793-845.

- Pseudotaberina and its relation to Caribbean Archaiasins. *Palaeontology*, 51 (1): 71-99.
- Reuter M. Piller W.E. Harzhauser M. Mandic O. Berning B. F. Rögl F. Kroh A. Aubry M.P. Wielandt-Schuster U. and Hamedani A. 2007. The Oligo-Miocene Qom Formation (Iran): evidence for an early Burdigalian restriction of the Tethyan seaway and closure of its Iranian gateway. *International Journal of Earth Sciences*, 98: 627-650.
- Romero J. Caus E. Rossel J. 2002. A model for the paleoenvironmental distribution of larger foraminifera based on Late Middle Eocene deposits on the margin of the south Pyrenean Basin (SE Spain). *Palaeogeogr. Palaeoclimatol. Palaeoecol.*, 179:43-56.
- SINOPEC. 2009. Integrated Evaluation and Exploration Targets Optimisation in Garmsar Block, Iran. National Iranian Oil Company Exploration Directorate, SINOPEC report, unpublished.
- Soder P.A. 1956. Detailed investigations on the marine formation of Qum. National Iranian Oil Company Exploration Directorate, Geological report 154, Unpublished.
- Soder P.A. 1959. Detailed investigations on the marine formation (Oligo - Miocene) of Qum. National Iranian Oil Company Exploration Directorate, Geological report 186, Unpublished.
- Stampfli G.M. and Borel G.D. 2002. A plate tectonic model for the Paleozoic and Mesozoic constrained by dynamic plate boundaries and restored synthetic oceanic isochrones. *Earth and Planetary Science Letters*, 196: 17-33.
- Stöcklin J. Setudehina A. 1991. Stratigraphic lexicon of Iran. Geological Survey of Iran Report, 18: 1-376.
- Van Buchem F.S.P. Allan T.L. Laursen G.V. Lotfpour M. Moallemi A. Monibi S. Motiei H. Pickard N.A.H. Tahmasbi A.R. Vedrenne V. Vincent B. 2010. Regional stratigraphic architecture and reservoir types of the OligoMiocene deposits in the Dezful Embayment (Asmari and Pabdeh formations) SW Iran. *Geological Society, London, Special Publications*, 329: 219-263.
- Vaziri- Moghaddam H. and Torabi H. 2004. Biofacies and sequence stratigraphy of the Oligocene succession, Central basin, Iran. *Neues Jahrbuch für Geologie und Paläontologie*, Stuttgart, 6 : 321-344.
- Vaziri-Moghaddam H. Seyrafian A. Taheri A. Motiei H. 2010. Oligocene-Miocene ramp system (Asmari Formation) in the NW of the
- Morley C. K. Kongwung A. A. Julapour M. Abdolghafourian M. Hajian M. Waples D. Warren J. Otterdoom H. Srisuriyon K. and Kazemi H. 2009. Structural development of a major late Cenozoic basin and transpressional belt in central Iran. The Central Basin in the Qom-Saveh: *Geosphere*, 4: 325-362.
- Mateu-Vicens G Hallock v. Brandano M. 2008. A depositional model and paleoecological reconstruction of the lower Tortonian distally steepened ramp of Minorca (Balearic Islands, Spain). *Palaios*, 23: 465-481.
- Özcan E Less G Báldi-Beke M Kollányi K Acar F. 2009. Oligo- Miocene foraminiferal record (Miogypsinidae, Lepidocyclinidae and Nummulitidae) from the Western Taurides (SW Turkey). Biometry and implications for the regional geology. *Journal of Asian Earth Science*, 34: 740-760.
- Pedley H.M. 1998. A review of sediment distributions and processes in Oligo-Miocene ramps of southern Italy and Malta (Mediterranean divide). *Geological Society of London. Special Publications*, 149: 163-179.
- Rahimi Matin L. 2008. Biostratigraphy and sequence stratigraphy of Qom Formation in South of Varamin, M.S. thesis, Shahid Beheshti University, Tehran, Iran, 136p.
- Raju D.S.N. 1974. Study of Indian Miogypsinidae. *Utrecht Micropaleontological Bulletins*, 9: 1-148.
- Rasser M.W. Scheibner C. Mutti M. 2005. A paleoenvironmental standard section for Early Ilerdian tropical carbonate factories (Corbieres, France; Pyrenees, Spain). *Facies*, 51: 217-232.
- Read J. F. 1985. Carbonate platform facies models. *American Association of Petroleum Geologists Bulletin*, 69: 1-21.
- Rahaghi A. 1973. Etude de quelques grands foraminifères de la Formation de Qum (Iran Central). *Revue de Micropaléontologie*, 16: 23-38.
- Rahaghi A. 1976. Contribution à l'étude de quelques grands foraminifères de l'Iran. Société National Iranienne des Pétroles Laboratoire de Micropaléontologie. Publication 6, Parts 1-3, 1- 79.
- Rahaghi A. 1980. Tertiary Faunal Assemblage of Qum-Kashan, Sabzehwar and Jahrum Areas. National Iranian Oil Company Exploration Directorate, Geological Laboratories, Publication, 8: 1-64, Unpublished.
- Renema W. 2008. Internal architecture of Miocene

biostratigraphy, facies analysis and paleoenvironmental interpretations of the Oligo-Miocene carbonates, NW Central Zagros Basin, Iran: Arabian Journal Geosciences, 8 (2): 931-949.

Zagros basin, Iran. Microfacies, paleoenvironment and depositional sequence. *Revista Mexicana de Ciencias Geologicas*, 27: 56–71.
Zabihi Zoeram F. Vahidinia M. and Sadeghi A. 2014. Larger benthic foraminifera: a tool for

Archive of SID